

## REVISION DE LA TRIBU DES CRATOCENTRINI (HYM. CHALCIDIDAE)

Par. J. R. STEFFAN

(Laboratoire d'Entomologie Agricole, Muséum National d'Histoire Naturelle, Paris)

### Historique

L'histoire des recherches sur les Cratocentrini révèle que ces géants des Chalcidiens — leur taille peut dépasser 20 millimètres — sont paradoxalement demeurés, pendant près d'un siècle, les représentants les moins bien connus de la super-famille.

En 1884, Cameron créait le genre *Acanthochalcis* pour un étrange hyménoptère mexicain caractérisé par une très longue tarière dont, seule, la base se trouvait engainée par l'ultime tergite abdominal. Pour cette raison il rattacha aux Leucospidæ l'espèce type, *A. nigricans*, bien que ni ses ailes, ni son oviscapte rectiligne, ni ses derniers segments abdominaux « analogues à ceux d'un Sirex » ne fussent conformés comme chez les membres de cette famille. Une vingtaine d'années plus tard, le même entomologiste rassemblait dans un second genre *Cratocentrus* plusieurs espèces sud-africaines offrant des particularités identiques, mais, négligeant son précédent travail, et surtout attentif au fait que les *Cratocentrus* ont leurs antennes insérées juste au-dessus du clypeus, Cameron situait ces derniers parmi les Chalcididæ et plus précisément dans la sous-famille des Haltichellinæ. Sans se souvenir, une fois encore, de ses diagnoses antérieures, Cameron décrivait en 1911 un troisième genre indo-malais très voisin, *Allocentrus*, qu'à nouveau il rapprochait, par erreur, des Haltichellinæ, tout en insistant sur l'aspect de sa tarière comparable à celle des Torymidæ.<sup>1)</sup> Il fallut attendre 1944 pour que Masi découvrit la parenté de ces trois genres et leur véritable position dans la sous-famille des Brachymeriinae. Malheureusement, ce naturaliste, transgressant les règles de la nomenclature, crut devoir rebaptiser *Cerachalcis* le genre *Cratocentrus* dont le type était endommagé et, d'autre part, décrivit, sous le nom de *Macrochalcis*, le genre *Allocentrus* qu'il n'avait pu reconnaître. Enfin, il y a 10 ans, Ramdas Menon démontrait que *Marres* et *Larrado-*

<sup>1)</sup> Il est possible que le genre *Megachalcis*, également décrit de la région orientale par Cameron, soit un Cratocentrini, mais le type de la seule espèce pour laquelle il a été fondé, *M. fumipennis* Cam., ayant disparu, on ne peut se prononcer sur sa position. Nous avons discuté ce problème dans un article préliminaire à ce travail: « Notes synonymiques sur les Cratocentrini et les Phasgonophorini ». *Bull. Soc. Ent. Fr.*, 61 (1956) 1957, pp. 238—242.

*morpha*, deux anciens genres énigmatiques, créés chacun pour une espèce africaine, le premier par Walker en 1841, le second par Stadelmann en 1892, n'appartenaient nullement à la famille des Leucospidae, mais que, probablement synonymes, ils prenaient place au côté des formes révisées par Masi. Peu après, en 1950, l'auteur du présent travail fondait la tribu des Cratocentrini pour réunir tous ces Chalcidiens bien différents des autres Brachymeriinae, comme il ressort de la clé ci-dessous.

#### Clé des tribus des Brachymeriinae.

- 1 — (2) Ailes antérieures à postmarginale beaucoup plus longue que la marginale. Base du scrobe antennaire touchant presque le sommet du clypeus. Méso-pleures très profondément excavées par un acétabulum recevant les fémurs et les tibias médians. Apex des hanches postérieures sans lame interne foliacée protégeant la base des trochanters. Abdomen (♀) à 4 tergites visibles, les tergites II à IV rudimentaires, cachés sous le tergite I, les angles postérieurs du second et du troisième, ainsi que les côtés du quatrième, au plus, normalement apparents; dernier tergite n'engainant que la base des valves de la longue tarière. Abdomen (♂) à 7 tergites visibles. Formes parasites de Coléoptères xylophages . . . . . Tribu **Cratocentrini** Steffan
- 2 — (1) Ailes antérieures à postmarginale beaucoup plus courte que la marginale. Base du scrobe antennaire éloignée du sommet du clypeus. Méso-pleures simplement déprimées dans leur région antérieure. Apex des hanches postérieures pourvue d'une lame foliacée interne protégeant la base des trochanters. Abdomen (♀ et ♂) avec, au moins, 6 tergites visibles; dernier tergite (♀) engainant presque entièrement les valves de la tarière, quelle que soit leur longueur.
- 3 — (4) Tibias postérieurs sans éperon apical. Tête, s'incurvant pour emboîter le collus du pronotum, à yeux petits et à joues allongées, sans suture ni carène génale. Antennes longues et grêles, les premiers articles funiculaires franchement plus longs que larges. Pronotum, aussi long que les scapulae, à collus bien développé. Tête et thorax généralement creusés de grossières fovéoles bordées de crêtes tranchantes, les crêtes transversales souvent saillantes comme des dents de râpe, l'occiput à sculpture aciculaire. Face des hanches antérieures prolongée par une expansion foliacée recevant les mandibules. Abdomen (♀ et ♂) à 6 ou 7 tergites visibles, le tergite I soit très long, soit très court, et dans ce cas égal au tergite II avec lequel il est parfois fusionné; dernier tergite (♀) toujours allongé, à pygostyles situés vers son milieu ou au delà du milieu. Formes parasites de Coléoptères xylophages . . . . . Tribu **Phasgonophorini** Steffan
- 4 — (3) Tibias postérieurs munis d'un éperon apical distinct. Tête, non incurvée, à grands yeux et à joues courtes pourvues d'une suture ou d'une carène génale. Antennes brèves, les premiers articles funiculaires aussi longs ou à peine plus longs que larges. Pronotum plus court que les scapulae, sans collus bien distinct. Tête et thorax à sculpture généralement ombiliquée, jamais aciculaire sur l'occiput. Face des hanches antérieures recevant les mandibules non prolongée par une expansion foliacée bien nette. Abdomen (♀ et ♂) à 7 tergites visibles, le tergite I, normalement développé, toujours plus grand que le tergite II; dernier tergite (♀) à pygostyles situés très près de sa base, quelle que soit sa longueur. Formes parasites d'hôtes variés (Lépidoptères, Diptères, Hyménoptères etc.) . . . . . Tribu **Brachymeriini** Steffan

#### Diagnose de la tribu des Cratocentrini

Corps habituellement recouvert d'une très abondante pubescence composée de fins poils dressés et de soies plus épaisses, arquées ou couchées, ces dernières souvent groupées en touffes ou fascies brillantes.

Tête, plus ou moins incurvée pour emboîter le collus du pronotum, à très grands yeux et à joues courtes pourvues d'une suture ou d'une carène génale. Scrobe antennaire large, très profond, rebordé latéralement, sa base située au voisinage de la ligne oculaire inférieure et très près du sommet du clypeus. Carène occipitale émettant un petit processus dentiforme s'emboîtant, au repos, dans une gorge des hanches antérieures.<sup>2)</sup> Mandibules droite et gauche bidentées.

Antennes variables, plus souvent brèves que longues, à pédicelle toujours court, l'annellus cyathiforme ou même laminaire, la flagelle parfois noduleux ou ramifié chez les ♂♂.

Pronotum aussi long ou plus long que les scapulæ, son collus bien développé. Mésopleures très profondément excavée par un acetabulum recevant les fémurs et les tibias médians. Métapleures séparées du propodeum par un sillon arqué. Dos du thorax et pleures sculptés de fovéoles polygonales contiguës et bordées de crêtes tranchantes, les crêtes transversales souvent saillantes comme des dents de râpe sur le collare prothoracique et le mesonotum.

Propodeum fondamentalement divisé en quatre régions; sur la première, antérieure, s'étend une rangée de petites *aréoles basales* bordant le métonotum; la seconde, postérieure, forme une grande *cellule apicale* située derrière la file des aréoles basales, cette cellule étant divisée par deux carènes submédianes, ou une carène médiane, généralement incomplètes chez la ♀; enfin les deux régions latérales où s'ouvrent les stigmates sont occupées par une paire d'*aréoles stigmatiques* qui atteignent l'extrémité du propodeum, ou en sont séparées par une aréole secondaire.

Face des hanches antérieures prolongée, ou non, par une expansion foliacée recevant les mandibules. Tibias antérieurs pourvus, à leur extrémité distale, d'un ou deux denticules spiniformes. Apex des hanches postérieures démunie de la lame foliacée interne protégeant la base des trochanters. Fémurs postérieurs presque toujours armés d'une dent basale interne. Tibias postérieurs sans éperon apical, leur face interne généralement canaliculée pour recevoir les tarses.

Ailes antérieures à postmarginale nettement plus longue que la marginale, cette dernière relativement plus courte que chez les représentants des autres tribus.

Abdomen (♀) à 4 tergites entièrement développés,<sup>3)</sup> les tergites II à IV réduits à de très minces feuilletts chitineux normalement recouverts par le tergite I, les angles postérieurs du tergite III (rarement ceux du tergite II) et les côtés du tergite IV néanmoins visibles et bien différenciés chez quelques genres. Tergite V toujours de grande taille. Stigmates du tergite VI à péritrème proéminent. Tergite VII (dernier tergite) n'engainant que la base des valves de la longue tarière et occupant la majeure partie de la région ventrale de l'abdomen, les sternites III à V étant courts ou très courts. Tous les ter-

<sup>2)</sup> Chez les Phasgonophorini et les Brachymeriini, c'est l'angle malaire lui-même qui repose dans cette gorge.

<sup>3)</sup> Dans la numérotation des tergites il n'est tenu compte, ni du propodeum, ni du pétiole.

gites visibles, sauf parfois le premier, fortement ponctués. Base du sternite I, en contact avec le pétiole, vigoureusement sculpté.

Abdomen (♂) à 7 tergites et sternites distincts. Tergite I beaucoup plus grand que les quatre suivants, tous ces tergites fortement ponctués ou même fovéolés, sauf, parfois, le premier. Tergite VI lunulaire, obconique, ou en forme de pavillon de trompette, ses stigmates à pérित्रème proéminent. Tergite VII (dernier tergite) de forme variable, mais toujours allongé. Base du sternite I encore plus vigoureusement sculptée que chez la ♀.

L'originalité la plus remarquable des Cratocentrini réside, sans conteste, dans la modification de leur abdomen, cette modification étant probablement en rapport avec la situation de l'hôte à parasiter, une larve de Coléoptère xylophage. La réduction du nombre des urotergites fonctionnels, jointe à leur robustesse, devrait conférer au gaster une rigidité avantageuse lors du forage d'une épaisse paroi ligneuse, et, à cet égard, il est significatif de noter chez les Phasgonophorini, aux mœurs identiques, une évolution aboutissant au même résultat, ce dernier étant toutefois obtenu de façon toute différente, soit par la coalescence des deux premiers tergites abdominaux, soit par un plus grand développement du tergite I. La sculpture du tégument de la région dorsale du thorax, caractérisée par la déformation en « dent de râpe » des crêtes transversales séparant les fovéoles, est également commune au Cratocentrini et aux Phasgonophorini, mais, là encore, il s'agit d'un phénomène de convergence observable chez d'autres Hyménoptères parasites de xylophages, comme les Cynipides de la famille des Ibalidæ. Par la conformation de leur tête et de leurs antennes, les Cratocentrini sont, en effet, beaucoup plus proche d'un type « Brachymeria » que des Phasgonophorini, et il est vraisemblable que ces deux tribus, issues d'une souche identique, ont évolué de manière indépendante.

Le développement parfois extraordinaire de la pubescence couvrant le corps des Cratocentrini constitue une autre de leur singularité, et la disposition des franges ou fascies soyeuses ornant la tête, le thorax, l'abdomen, ou même les pattes, fournit de très bons caractères taxinomiques. Malheureusement il arrive que les soies assez fragiles composant ces fascies disparaissent à la suite d'une abrasion accidentelle ou, qu'imprégnées de corps gras, elles demeurent invisibles. Dans le premier cas, leur emplacement est révélé par la très fine ponctuation du tégument, chaque point représentant la base articulaire d'un poil; dans le second cas, un dégraissage au moyen d'un solvant organique, restituée à ces fascies tout leur éclat primitif.

### Biologie

Tous les Cratocentrini dont les hôtes sont connus ont été obtenus de larves de Coléoptères xylophages, Cerambycidæ, Buprestidæ, Bostrychidæ ou Curculionidæ. Une même forme attaque indifféremment les représentants de familles systématiquement éloignées, sans que la diversité des victimes entraîne des modifications morphologiques chez le Chalcidien, ou, à chaque hôte ou groupe d'hôte, paraît correspondre une variété particulière de l'espèce parasite (cas du *Cratocentrus pruinosis* sp. n. de Madagascar). Sur les modalités du développement préimaginal, on ne possède aucun renseignement.



### Distribution géographique

Les Cratocentrini se répartissent exclusivement dans les zones tropicales et subtropicales du globe. La Région éthiopienne ne renferme pas moins de douze espèces décrites<sup>4)</sup> que l'on peut classer en huit genres, dont six sont endémiques. Quatre de ces derniers, *Marres*, *Larradomorpha*, *Vesporomorpha* et *Spatocentrus* semblent propres à l'Afrique australe et orientale, tandis que le cinquième, *Philocentrus*, est localisé en Afrique soudanaise et le sixième, *Acrocentrus*, à Madagascar. Cette île possède, en outre, un *Acanthochalcis* et un *Cratocentrus*, genre également représenté dans chacune des contrées africaines déjà citées. Dans la sous-région méditerranéenne (Iles du Cap Vert, Afrique du nord, Arabie, Iran) se rencontrent trois autres espèces de *Cratocentrus*, l'une d'entre elles, *C. decoratus* (Klug) envahissant, de plus, la partie orientale de la Région éthiopienne. La Région orientale (Inde, Indo-Chine, Malaisie) où vivrait un *Cratocentrini* très particulier dont le type a disparu, le « *Cerachalcis birmana* » Ms., se trouve caractérisée par le beau genre autochtone *Allocentrus* réunissant quatre espèces. Enfin la sous-région sonoriennne de l'Amérique du Nord est habitée par deux formes du genre *Acanthochalcis*, la troisième appartenant, comme on l'a vu, à Madagascar. Aucun Cratocentrini n'a été signalé, jusqu'ici, ni dans la Région australienne, ni dans la Région néotropicale si riche en Phasgonophorini.

### Tribu des Cratocentrini

#### Clé des genres (♀♀)

- 1 — (2) Collare prothoracique nul dans le tiers médian du pronotum qui est uniformément incliné en avant, le bord postérieur de celui-ci presque toujours relevé en deux bosses latérales; scapulæ et axilles également bossues et proéminentes de chaque côté du scutum et du scutellum. Fémurs postérieurs à dent interne nulle. Premier tergite abdominal lisse ou creusé de rares points épars. Corps entièrement noir, les parties moins mélanisées vaguement roussâtres . . . . . 1. *Allocentrus* Cameron
- 2 — (1) Thorax différent. Fémurs postérieurs pourvus d'une dent interne distincte, sauf chez *Acanthochalcis unispinosa* Girtl. Premier tergite abdominal densément ponctué. Corps presque toujours coloré partiellement en brun ou en roux.
- 3 — (6) Tergites abdominaux uniformément couverts de longues soies ne formant nulle part de fascies, le tergite V parfois orné d'une épaisse frange de poils le long de son bord postérieur. Côtés du tergite IV assez bien développés, toujours apparents et fortement ponctués comme les tergites I et V. Aréoles stigmatiques du propodeum recouvertes de soies éparses dressées, ces aréoles s'abaissant régulièrement jusqu'à l'extrémité du propodeum. Disque des fémurs postérieurs toujours creusé de points sétifères microscopiques.
- 4 — (5) Abdomen un peu tubulaire, progressivement rétréci vers l'apex, le tergite V plus long que le tergite I. Partie basale du dernier tergite plus ou moins cylindrique et au moins aussi longue que la partie apicale amincie portant les pygostyles, cette partie basale sculptée de fovéoles allongées bordées de fines crêtes aciculaires et creusée, dorsalement, d'un sillon où court la carène

<sup>4)</sup> En réalité, le nombre de formes africaines est supérieur, mais il nous paraît imprudent de nommer quelques espèces de *Cratocentrus* représentées par un exemplaire unique (cf. *Cratocentrus*).

- médiane; face ventrale de ce même tergite prolongée par deux processus latéraux spiniformes, la fente longitudinale, livrant passage à la tarière, située au fond d'un large canal caréné sur ses côtés. Partie libre des valves de la tarière très courte, sa longueur inférieure à celle du dernier tergite . . . . . 3. *Larradomorpha* Stadelmann
- 5 — (4) Abdomen longuement ovoïde, à tergite V aussi long que le tergite I. Partie basale du dernier tergite épaissie pour former un bourrelet plus court que la partie apicale amincie portant les pygostyles, cette partie basale sculptée de fovéoles rondes et dépourvue de sillon dorsal; face ventrale de ce même tergite, ni prolongé par des processus spiniformes, ni distinctement canaliculée sur le trajet de la fente longitudinale livrant passage à la tarière. Partie libre des valves de la tarière beaucoup plus longue que le dernier tergite . . . . . 4. *Vespomorpha* gen. nov.
- 6 — (3) Tergites abdominaux ornés de soies disposées en fascies formant notamment deux taches ou deux bandes brillantes sur les côtés du tergite V. Tergite IV entièrement réduit à un très mince feuillet chitineux normalement caché sous le tergite I, ses angles postérieurs, au plus, visibles et ponctués comme les tergites I et V. Aréoles stigmatiques du propodeum entièrement ou partiellement recouvertes d'une très épaisse pubescence apprimée, ces aréoles, presque toujours horizontales, séparées de l'extrémité du propodeum par une aréole secondaire verticale glabre. Si pubescence rare sur l'abdomen et le propodeum (*Acanthochalcis unispinosa* Girtl.), disque des fémurs postérieurs creusé de points sétifères très grossiers.
- 7 — (10) Partie basale du dernier tergite abdominal épaissie pour former un gros collier ou un gros bourrelet en avant de la partie apicale amincie portant les pygostyles, ce collier ou bourrelet à région dorsale bien développée, fortement et densément ponctuée comme le tergite précédent.
- 8 — (9) Tête sans cornicules sur le vertex. Thorax élancé, le pronotum, vu de front, à région dorsale plane ou un peu déprimée dans son tiers médian. Collare prothoracique caréné seulement sur les côtés. Bordure du scutellum (postscutellum) non mucronée à l'apex. Abdomen longuement ovoïde. Côtés du tergite V couverts de poils clairsemés ou ornés d'une paire de fascies soyeuses arrondies; bord apical de ce tergite échancré en V. Face externe des hanches postérieures creusées de très gros points sétifères épars. Fémurs postérieurs étroits, leur disque également creusé de très gros points sétifères épars . . . . . 5. *Acanthochalcis* Cameron
- 9 — (8) Tête le plus souvent munie de deux cornicules sur le vertex. Thorax trapu, le pronotum, vue de front, à région dorsale entièrement et fortement arquée. Collare prothoracique parfaitement distinct du collus et séparé de celui-ci par deux carènes qui s'atténuent progressivement vers le centre du pronotum. Bordure du scutellum (postscutellum) mucronée à l'apex. Abdomen brièvement ovoïde. Milieu du tergite V presque entièrement ceinturé par une étroite fascie soyeuse; bord apical de ce tergite concave. Face externe des hanches postérieures revêtue d'une très épaisse pubescence apprimée cachant le tégument. Fémurs postérieurs très larges, leur disque creusé de petits points sétifères très serrés . . . . . 6. *Cratocentrus* Cameron
- 10 — (7) Partie basale du dernier tergite abdominal renflée seulement sur les côtés, ne formant ni collier ni bourrelet dorsal et, de ce fait, entièrement cachée sous le tergite précédent lorsque l'abdomen est examiné dorsalement.
- 11 — (12) Occiput non caréné entre les ocelles latéraux. Pronotum, vu de front, à région dorsale plane dans son tiers médian. Axilles ni bossues, ni carénées postérieurement. Bordure du scutellum (postscutellum) mucronée à l'apex. Partie apicale amincie du dernier tergite abdominal à bord ventral crênelé . . . . . 7. *Acrocentrus* gen. nov.
- 12 — (11) Occiput caréné entre les ocelles latéraux. Pronotum, vue de front, à région dorsale entièrement et fortement arquée. Axilles bossues ou carénées posté-

rieurement. Bordure du scutellum (postscutellum) non mucronée à l'apex. Partie apicale amincie du dernier tergite abdominal à bord ventral non crênelé.

- 13 — (14) Axilles bossues, très proéminentes de chaque côté du scutellum. Carènes latérales du propodeum bidentées, la première dent située au niveau du stigmate; aréoles stigmatiques s'abaissant nettement vers l'extrémité du propodeum dont elles sont séparées par une courte aréole secondaire verticale et transverse. Abdomen un peu comprimé dorso-ventralement. Côtés du tergite V ornés, chez le type, d'une paire d'étroites fascies soyeuses mal délimitées . . . . . 8. *Spatocentrus* gen. nov.
- 14 — (13) Axilles à région dorsale presque plane, séparée de leur région postérieure verticale par une carène sinueuse très distincte. Carènes latérales du propodeum inermes; aréoles stigmatiques horizontales suivies d'une grande aréole secondaire verticale plus haute que large. Abdomen non comprimé dorso-ventralement. Tergite V orné, chez le type, d'une paire de fascies soyeuses occupant la moitié postérieure de leurs côtés . . . 9. *Philocentrus* gen. nov.

#### Clé des genres (♂♂)

- 1 — (4) Dernier tergite abdominal fusionné avec le tergite précédent. Antennes à flagelle ramifié ou noduleux.
- 2 — (3) Dernier tergite abdominal triangulaire, terminé par une spinule médiane. Antennes à flagelle ramifié . . . . . 3. *Larradomorpha* Stadelmann
- 3 — (2) Dernier tergite abdominal triangulaire, arrondi à l'apex. Antennes à flagelle noduleux . . . . . 4. *Vespomorpha* gen. nov.
- 4 — (1) Une suture distincte entre l'avant-dernier et le dernier tergite. Antennes à flagelle normal, cylindrique.
- 5 — (10) Dernier tergite abdominal triangulaire, terminé par une spinule médiane. Occiput parfois caréné entre les ocelles latéraux.
- 6 — (7) Fémurs postérieurs à dent interne nulle. Premier tergite abdominal lisse ou creusé de points épars . . . . . 1. *Allocentrus* Cameron
- 7 — (6) Fémurs postérieurs à dent interne distincte, sauf chez *Acanthochalcis unispinosa* Girtl. Premier tergite abdominal très densément et fortement ponctué ou foveolé.
- 8 — (9) Thorax élancé. Pronotum, vue de front, à région dorsale plane ou un peu déprimée dans son tiers médian. Région dorsale des axilles non carénée postérieurement. Face externe des hanches postérieures creusée de très gros points sétifères épars. Fémurs postérieurs étroits, leur disque, également creusé de très gros points sétifères épars, peu pubescent . . . 5. *Acanthochalcis* Cameron
- 9 — (8) Thorax trapu. Pronotum, vu de front, à région dorsale entièrement et fortement arquée. Région dorsale des axilles plane et séparée de la région postérieure verticale par une carène sinueuse. Face externe des hanches postérieures revêtue d'une très épaisse pubescence apprimée cachant les téguments. Fémurs postérieurs larges, leur disque, creusé de points sétifères très petits et serrés, recouvert d'une épaisse pubescence . . . . . 9. *Philocentrus* gen. nov.
- 10 — (5) Dernier tergite abdominal échancré à l'apex entre deux spinules latérales. Vertex pourvu de deux cornicules, ou occiput prolongé par une lame bidentée (sauf chez quelques petites formes).
- 11 — (12) Collare prothoracique bien individualisé, séparé du collus par deux carènes qui s'atténuent progressivement vers le centre du pronotum. Bordure du scutellum (postscutellum) mucronée à l'apex . . . 6. *Cratocentrus* Cameron
- 12 — (11) Collare prothoracique plus ou moins confondu avec le collus et caréné seulement sur les côtés. Bordure du scutellum (postscutellum) non mucronée à l'apex . . . . . 8. *Spatocentrus* gen. nov.

## Etude des genres et des espèces

Genre *Allocentrus* Cameron

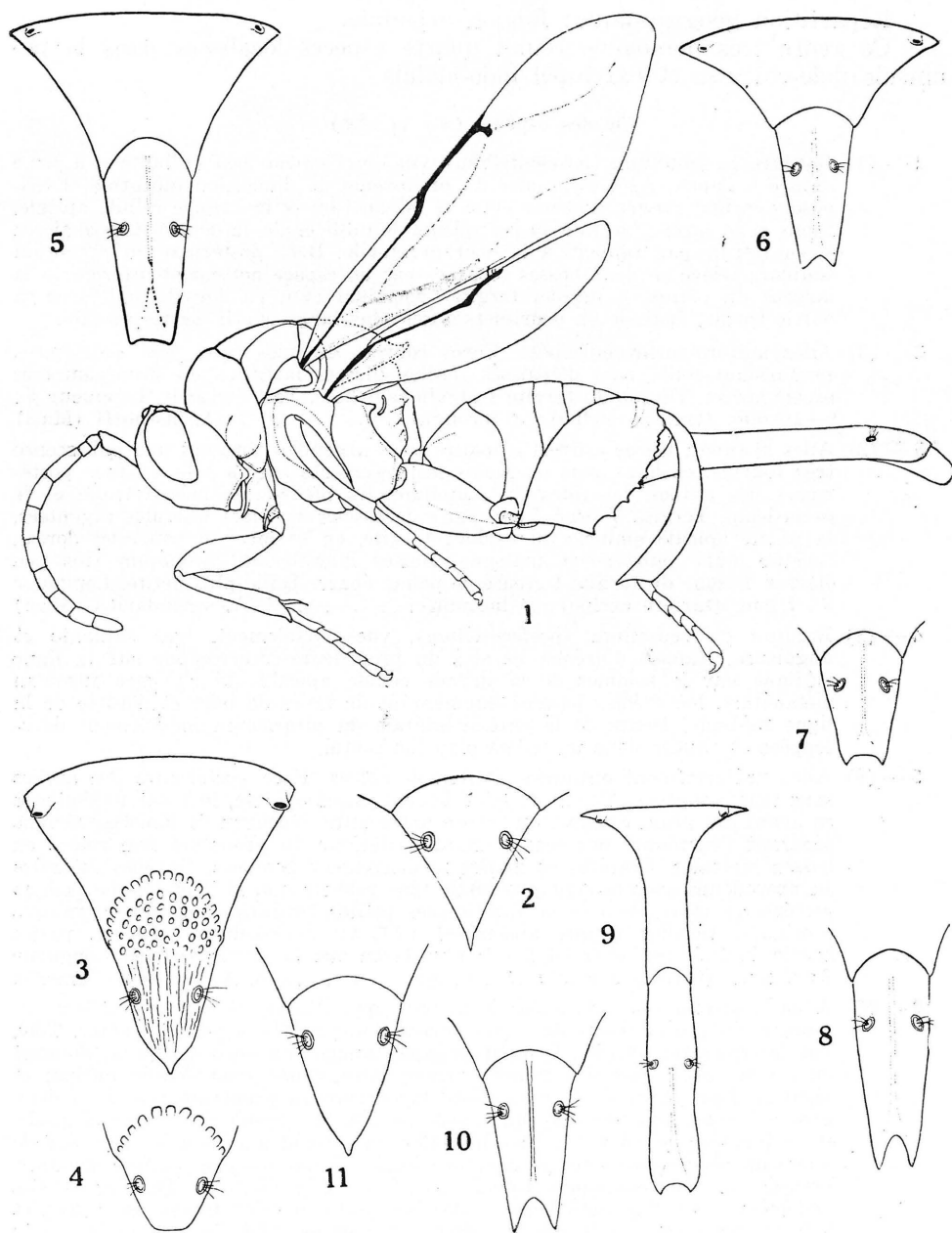
*Allocentrus* Cameron, 1911, *Soc. Ent.*, 26, p. 12.

*Macrochalcis* Masi, 1944, *Ann. Mus. Genova*, 62 (1945), p. 137.

## Description du genre. —

Taille grande; ♀: 7—10 mm (tarière exclue); ♂: 6 mm. Corps entièrement noir (les parties peu mélanisées au plus roussâtres), ordinairement très brillant et couvert d'une rare pubescence (sauf chez *A. secundarius* Ms.). Tête large, mais avec l'espace interorbitaire à peine transverse ou carré (♀), ou plus haut que large (♂). Longueur du flagelle antennaire (♀♂) à peu près égale à la largeur de la tête, les articles funiculaires plus longs que larges (♀), ou subcarrés (♂). Thorax trapu, parfois cubique. Collare prothoracique nul dans le tiers médian du pronotum qui est plat et uniformément incliné en avant, le bord postérieur du pronotum généralement relevé en deux broches latérales. Scapulæ et axilles bossues et proéminentes de chaque côté du scutum et du scutellum. Carènes latérales du propodeum très nettement bidentées, la dent proximale située au niveau du stigmate. Aréoles stigmatiques allongées jusqu'à l'extrémité du propodeum, leur moitié antérieure horizontale, leur moitié postérieure verticale, ces aréoles divisées par plusieurs carinules transverses. Aréoles basales du propodeum disposées en une rangée continue ou non entre le métanotum et la grande cellule apicale, celle-ci inclinée verticalement et divisée, chez le ♂, par deux carènes submédianes. Hanches postérieures extrêmement allongées, fusiformes, à peine comprimées. Fémurs postérieurs également très allongés, amygdaliformes, à dent interne nulle, leur disque creusé de petits points sétifères plus ou moins épars. Tibias postérieurs à gouttière tarsale occupant au moins leur moitié apicale, le bord dorsal de ces tibias souvent comprimé en lame tranchante le long de la gouttière. Ailes antérieures à postmarginale assez courte, inférieure au double de la marginale (♀♂). Abdomen (♀) ovoïde, aussi long que la tête et le thorax réunis. Tergite I peu convexe, dépourvu d'aréole basale, au moins deux fois plus long que le tergite V, son disque lisse ou creusé de points épars. Tergites suivants densément ponctués, au moins dans leur moitié antérieure, le bord postérieur du tergite V nettement échancré en V. Dernier tergite à partie basale épaissie en bourrelet en avant de la partie apicale amincie portant les pygostyles, la seule qui soit parcourue par une carène médiane. Partie libre des valves de la tarière plus longue que l'abdomen. Abdomen (♂) à tergite I également lisse ou à peine ponctué; tergite VI lunulaire; tergite VII triangulaire terminé par une spinule médiane.

Figs. 1 à 11. — 1. Un Phasgonophorini: *Stypiura caudata* (Guér.) ♀. — 2. *Allocentrus carinatus* (Steff.) ♂: tergite VII. — 3. *Larradomorpha kerrichi* sp. n. ♂: tergites VI et VII fusionnés. — 4. *Vespomorpha auronitens* sp. n. ♂: apex des tergites VI et VII fusionnés. — 5. *Cratocentrus fastuosus* (Ms.) ♂: tergites VI et VII. — 6. *C. pruinosus* sp. n. f. typique ♂: id. — 7. *C. pruinosus* sp. n. var. *brevicaudatus* ♂: tergite VII. — 8. *C. pruinosus* sp. n. var. *cornutus* ♂: id. — 9. *Cratocentrus* sp. ♂: tergite VI et VII. — 10. *Spatocentrus arnoldi* sp. n. ♂: tergite VII. — 11. *Philocentrus argenteolus* sp. n. ♂: id.





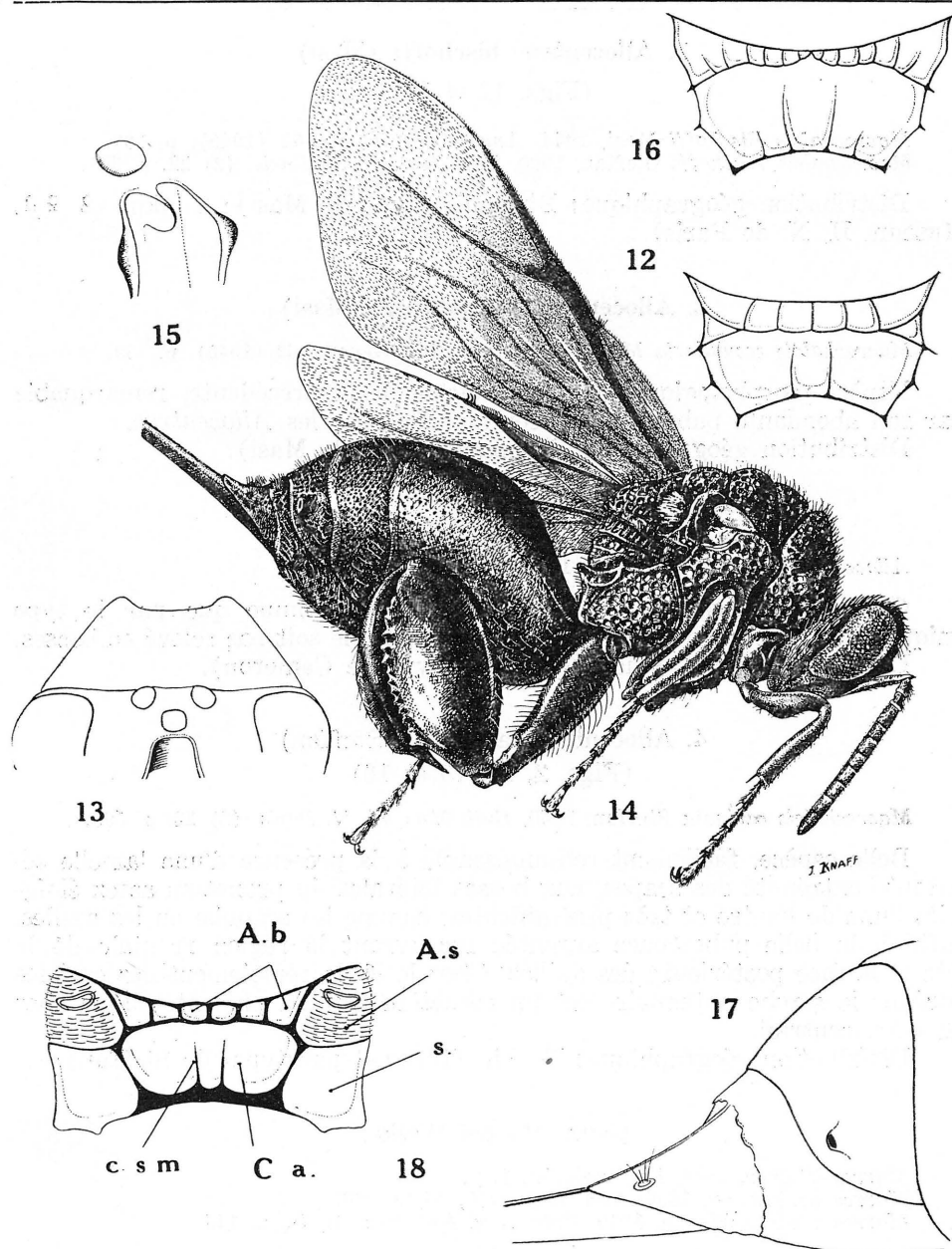
Type du genre *A. hirticeps* Cameron

Répartition géographique: Région orientale.

Ce genre très homogène réunit quatre espèces localisées dans la péninsule indo-chinoise et l'archipel indo-malais.

## Clé des espèces (♀♀ et ♂♂)

- 1 — (4) Bordure du scutellum (postscutellum), vue dorsalement, peu saillante et à peine arquée à l'apex. Aréoles basales du propodeum de dimension uniforme et disposées en une rangée continue entre le métanotum et la grande cellule apicale. Dents de la carène latérale du propodeum de taille égale, la dent distale abaissée et en retrait par rapport à la dent proximale. Bord postérieur du pronotum toujours relevé en deux bosses séparées par un espace nettement inférieur à la largeur du vertex, le dernier tergite abdominal (♀), vu dorsalement, avec sa partie basale, épaissie en bourrelet, 2 fois plus large que la partie apicale.
- 2 — (3) Ailes uniformément enfumées. Corps couvert de soies fines très clairsemées ne formant nulle part d'épaisses fascies. Bosses latérales du pronotum très proéminentes. Disque du tergite I absolument lisse. Taille grande. Longueur ♀: 9—10 mm. (tarière exclue); ♂ inconnu . . . . . 1. *A. bischoffi* (Masi)
- 3 — (2) Ailes hyalines. Corps couvert d'épaisses soies argentées formant une pubescence très fournie, cachant plus ou moins les téguments sur la tête, la face postérieure des axilles, les côtés du scutellum, les pleures, le mésosternum et le propodeum. Tergite V orné d'une paire de fascies soyeuses latérales argentées, la partie apicale amincie du dernier tergite, en arrière du bourrelet dorsal, revêtue d'une pubescence analogue. Bosses latérales du pronotum très peu élevées. Disque du tergite I creusé de points épars. Taille plus petite. Longueur ♀: 7 mm. (tarière exclue); ♂ inconnu . . . . . 2. *A. secundarius* (Masi)
- 4 — (1) Bordure du scutellum (postscutellum), vue dorsalement, très saillante et anguleuse. Rangée d'aréoles basales du propodeum interrompue sur la ligne médiane par le sommet de la grande cellule apicale qui s'avance jusqu'au métanotum, les aréoles basales augmentant de taille de part et d'autre de la ligne médiane. Dents de la carène latérale du propodeum inégalement développées et situées dans un même plan horizontal.
- 5 — (6) Ailes uniformément enfumées. Antennes noires. Face postérieure des axilles sans touffe soyeuse. Tête, vue latéralement, assez épaisse, le front proéminent en avant des yeux. Sommet du scrobe antennaire dépourvu de lamelle médiane séparant l'extrémité des scapes. Bord postérieur du pronotum non relevé en bosses latérales. Scapulæ et axilles médiocrement bombées. Carènes latérales du propodeum avec la dent proximale plus robuste que la dent distale. Tibias postérieurs mats, creusés de nombreuses petites fovéoles guttiformes presque contiguës. Dernier tergite abdominal (♀), vu dorsalement, avec sa partie basale épaissie en bourrelet 2 fois plus large que la partie apicale. Longueur ♀: 7 mm. (tarière exclue); ♂ inconnu . . . . . 3. *A. hirticeps* Cameron
- 6 — (5) Ailes beaucoup plus enfumées à la base qu'à l'apex. Antennes entièrement rousses. Face postérieure des axilles ornée d'une touffe soyeuse argentée. Tête, vue latéralement, étroite, le front presque tangent au bord des yeux. Sommet du scrobe divisé par une lamelle triangulaire située sous l'ocelle médian et séparant l'extrémité des scapes. Bord postérieur du pronotum relevé en deux grosses bosses séparées par un espace égal à la largeur du vertex Scapulæ et axilles très bossues. Carènes latérales du propodeum avec la dent distale beaucoup plus robuste que la dent proximale. Tibias postérieurs très brillants, creusés de microscopiques fovéoles sétifères très éparses. Dernier tergite abdominal (♀), vu dorsalement, avec sa partie basale épaissie en bourrelet 3 fois plus large que la partie apicale. ♂ avec les carènes bordant le scrobe repliées et appliquées sur le front; dernier tergite abdominal aussi long que large, creusé de quelques points épars. Longueur ♀: 8—10 mm.; ♂ 6 mm. . . . . 4. *A. carinatus* (Steffan)



Figs. 12 à 18. — 12. *Allocentrus bischoffi* (Ms.) ♀: région centrale du propodeum. — 13. id.: sommet de la tête et pronotum. — 14. *A. carinatus* (Steff.) ♀: habitus. — 15. id.: sommet du scrobe antennaire. — 16. id.: région centrale du propodeum. — 17. *Vespo-morpha auronitens* sp. n. ♀: apex de l'abdomen. — 18. *Cratocentrus pruinosus* sp. n. f. typique ♀: propodeum; A. b.: aréoles basales; C. a.: cellule apicale; c. s. m.: carènes submédianes; A. s.: aréole stigmatique; s.: aréole secondaire.

1. *Allocentrus bischoffi* (Masi)

(Figs. 12 et 13)

*Macrochalcis Bischoffi* Masi, 1944, *Ann. Mus. Genova*, 62 (1945), p. 137.*Macrochalcis Bischoffi* Steffan, 1950, *Bull. Mus. H. N. Paris*, (2) 22, p. 601.

Distribution géographique: Birmanie (type de Masi); Tonkin (2 ♀♀, Museum H. N. de Paris).

2. *Allocentrus secundarius* (Masi)*Macrochalcis secundaria* Masi, 1944, *Ann. Mus. Genova*, 62 (1945), p. 139.

Espèce morphologiquement très voisine de la précédente, remarquable par son abondante pubescence, exceptionnelle chez les *Allocentrus*.

Distribution géographique: Birmanie (type de Masi).

3. *Allocentrus hirticeps* Cameron*Allocentrus hirticeps* Cameron, 1911, *Soc. Ent.*, 28, p. 12.

Cette espèce, comme *A. secundarius*, n'est connue que par le type unique. C'est la seule du genre dont le pronotum ne soit pas relevé en bosses.

Distribution géographique: Bornéo (type de Cameron).

4. *Allocentrus carinatus* (Steffan)

(Figs. 2, 14, 15 et 16)

*Macrochalcis carinata* Steffan, 1950, *Bull. Mus. H. N. Paris*, (2) 22, p. 599.

Belle espèce, facilement reconnaissable à la présence d'une lamelle séparant l'extrémité des scapes, aux bosses latérales du pronotum assez éloignées l'une de l'autre et très proéminentes, comme les scapulæ ou les axilles, enfin à la belle pubescence argentée recouvrant la région frontale de la tête et la face postérieure des axilles. Chez le ♂, le repliement des carènes bordant le scrobe antennaire est un caractère jusqu'à présent unique chez les Cratocentrini.

Distribution géographique: Tonkin (types et paratypes de Steffan).

Genre *Marres* Walker*Marres* Walker, 1841, *Entomologist*, 1, p. 217.*Marres* Schletterer, 1890, *Berl. Ent. Zeit.*, 35, p. 298.*Marres* Ramdas Menon, 1949, *Proc. Roy. Ent. Soc.*, B, 18, p. 145.

Ce genre a été établi pour l'espèce *M. dicomas* Walker, dont on ne connaît que le type unique déposé au British Museum. L'abdomen de celui-ci, au sujet duquel la description originale ne fournit que peu de précisions, est, à présent, brisé. Aussi ne peut-on reconnaître avec certitude le sexe de cet individu. Ramdas Menon, qui considère les genres *Marres* et *Larrado-*

*morpha* comme identiques, suppose qu'il s'agit d'un ♂, Walker n'ayant pas signalé la présence d'une tarière. A notre avis, le type de *M. dicomas* est une ♀, et nous adoptons ce point de vue pour les raisons suivantes: la courte tarière des *Larradomorpha* peut facilement passer inaperçue au cours d'un examen hâtif et, d'autre part, les mâles de ce genre, et des *Vespomorpha* très voisins, ont des antennes ramifiées ou noduleuses, ce qui n'est pas le cas chez l'individu déposé au British Museum. Des deux genres *Larradomorpha* et *Vespomorpha*, qui diffèrent par la conformation de leur abdomen, l'un est probablement synonyme de *Marres*, mais ce problème ne sera résolu qu'après la découverte d'un *M. dicomas* de sexe femelle en bon état de conservation.

### 1. *Marres dicomas* Walker

*Marres Dicomas* Walker, 1841, *Entomologist*, 1, p. 217.

*Marres dicomas* Schletterer, 1890, *Berl. Ent. Zeit.*, 35, p. 299.

*Marres dicomas* Ramdas Menon, 1949, *Proc. Roy. Ent. Soc.*, B, 18, p. 148.

Tête et thorax roux orangé avec la base du front, les pleures, sauf les mésépisternes, le métanotum et le propodeum, noirs ou noirâtres. Abdomen, d'après Walker, noir à reflets métalliques pourprés. Ramdas Menon a donné une bonne description illustrée de cette espèce.

Distribution géographique: Gambie (Afrique occidentale) (type de Walker).

### Genre *Larradomorpha* Stadelmann

*Larradomorpha* Stadelmann, 1892, *Berl. Ent. Zeit.*, 37, p. 238.

#### Description du genre:

Aspect général rappelant celui des Scolies ou de certains mâles de Mutilles. Taille exceptionnellement grande; ♀: 10—23 mm. (tarière exclue); ♂: 9—14 mm. Corps bicolore, roux orangé ou rouge, et noir, revêtu d'une pubescence médiocre, uniquement formée de fines et longues soies dressés, le bord postérieur du tergite V (♀), seul parfois orné d'une épaisse frange de poils couchés. Tête très large, l'espace interorbitaire franchement transverse (♀♂). Longueur du flagelle antennaire (♀) à peu près égale à la largeur de la tête; flagelle (♂) ramifié. Thorax nettement plus long que large. Partie postérieure du pronotum formant un vague collare non caréné antérieurement et à région dorsale arquée. Scapulæ et axilles à peine bombées, non proéminentes de chaque côté du scutum et du scutellum. Carènes latérales du propodeum bidentées, la première dent, située au niveau du stigmate, aussi petite que la dent distale ou beaucoup plus robuste. Aréoles stigmatiques allongées, s'abaissant progressivement jusqu'à l'extrémité du propodeum, ces aréoles parfois divisées par quelques carinules transverses. Aréoles basales plus ou moins distinctes, la grande cellule apicale inclinée presque verticalement et divisée, chez le ♂, par deux carènes submédianes. Hanches postérieures cunéiformes, allongées. Fémurs postérieurs assez larges, à dent interne robuste, leur disque creusé de très petits points sétifères, quasi microscopiques, épars et peu nombreux. Tibias postérieurs à gouttière tarsale très courte, occupant au plus leur tiers apical. Ailes antérieures

toujours très enfumées, à postmarginale très développée, environ 3 fois plus longue que la marginale (♀), ou légèrement plus courte (♂). Abdomen (♀) un peu tubulaire, sa longueur supérieure à celle de la tête et du thorax réunis. Tergite I dépourvu d'aréole basale distincte, à disque fortement ponctué, plus court que le tergite V. Côtés du tergite IV toujours apparents et fortement ponctué comme les tergites I et V, le bord apical de celui-ci concave. Partie basale épaissie du dernier tergite, cylindrique, au moins aussi longue que la partie apicale amincie portant les pygostyles, cette partie basale sculptée de favéoles allongées bordées de fines crêtes aciculaires, et dorsalement évidée par un sillon où court le carène médiane; face ventrale de ce même tergite prolongée par deux processus spiniformes latéraux, la fente longitudinale livrant passage à la tarière située au fond d'un canal caréné sur les côtés. Abdomen (♂) à tergites VI et VII (dernier tergite) fusionnés, la limite entre les deux tergites indiquée par une rangée de grosses fovéoles; tergite VII triangulaire, terminé par une spinule médiane.

Type du genre: *L. insignis* Stadelmann

Répartition géographique: Région éthiopienne.

Ce genre, qui réunit les plus grandes espèces de tous les Chalcidiens, pourrait être synonyme de *Marres* (cf. paragraphe précédent).

Clé des espèces (♀♀ et ♂♂)

- 1 — (2) Tête et thorax noir bleuâtre avec au moins le pronotum et le mesonotum rouges. Abdomen et pattes postérieures violet obscur à reflets métalliques. Scutellum légèrement aplati, un peu déprimé sur la ligne médiane. Dent proximale des carènes latérales du propodeum beaucoup plus robuste que la dent distale; aréoles basales peu distinctes; sommet de la cellule apicale, indiquée par une tubérosité, s'avancant jusqu'au métanotum. Abdomen (♀) uniformément recouvert de soies noires, dressées, éparses, ne formant ni fascies ni franges. Dernier tergite à partie basale cylindrique plus longue que la partie apicale amincie portant les pygostyles, la limite entre les deux régions assez imprécise; sillon dorsal très large et bordé par deux carènes qui se transforment progressivement, vers l'apex, en lames tranchantes surplombant les côtés excavés du tergite; face ventrale de ce même tergite carénée latéralement, les carènes s'achevant à leur apex par deux processus spiniformes. Longueur ♀: 15—23 mm. (tarière exclue); ♂ inconnu . . . 1. *L. insignis* Stadelmann
- 2 — (1) Tête et thorax entièrement noirs. Abdomen (♀) à tergites I et IV roux orangé, le tergite V très assombri, les deux derniers noirs; abdomen (♂) entièrement roux orangé. Antennes (♂) avec le funicule II et tous les articles suivants, sauf le dernier de la massue, prolongés par une paire de rameaux comprimés. Scutellum régulièrement convexe, non déprimé sur la ligne médiane. Propodeum avec les deux dents des carènes latérales peu robustes et de taille sensiblement égale; aréoles basales petites, disposées en une rangée continue, le sommet de la cellule apicale n'atteignant par le métanotum. Bord postérieur du cinquième tergite abdominal (♀) orné d'une épaisse frange de poils blonds couchés. Dernier tergite (♀) à partie basale cylindrique aussi longue que la partie apicale amincie portant les pygostyles et séparée de cette dernière par un ressaut à bord épineux; sillon dorsal étroit et non caréné sur les côtés; face ventrale de ce même tergite non carénée latéralement, mais, en revanche, carènes bordant le canal médian s'achevant à leur apex par deux processus spiniformes. Dernier tergite (♂) environ 1 fois  $\frac{1}{2}$  plus long que large, ponctué dans sa moitié basale, strié longitudinalement dans sa moitié apicale. Longueur ♀: 15—18 mm. (tarière exclue); ♂: 9—14 mm. . . . . 2. *L. kerriichi* sp. n.



## 1. *Larradomorpha insignis* Stadelmann

(Fig. 19)

*Larradomorpha insignis* Stadelmann, 1892, *Berl. Ent. Zeit.*, 37, p. 239.

*Larradomorpha insignis* Ramdas Menon, 1949, *Proc. Roy. Ent. Soc.*, B, 18, p. 147.

Très belle espèce, remarquable par sa coloration et la structure du dernier tergite abdominal. Tête, soit entièrement noire, soit ornée de rouge sur la partie inférieure du front, les joues et les tempes; parfois les mésépisternes sont également maculées de rouge au-dessus des tegulæ.

Distribution géographique: Afrique occidentale (type de Stadelmann); Uganda; Rhodésie du Sud (2 ♀ ♀, British Museum; 1 ♀ National Museum of South Rhodesia).

## 2. *Larradomorpha kerrichi* sp. n.

(Figs. 3, 20, 21 et 22)

♀ : tête et thorax noirs. Couleur des antennes variant du roux au noir. Tegulæ brunes. Couleur des pattes variant du roux au noir. Abdomen à tergite I roux orangé comme les côtés du tergite IV; tergite V graduellement assombri vers l'apex, mais ceinturé de jaune le long de son bord postérieur; tergites VI et VII noirs; valves de la tarière rousses, noires à l'apex. Ailes très fortement enfumées, roux violacé.

Corps couvert de longues et fines soies blanches ou jaunâtres, généralement dressées, ces soies abondantes sur la tête, les pleures, le propodeum et la face externe des hanches postérieures. Tergite V de l'abdomen orné d'une épaisse frange de poils blonds couchés couvrant la bande apicale jaune.

Tête, vue de face, très large, sa largeur égale à 1 fois  $\frac{1}{2}$  sa hauteur. Espace interorbitaire nettement transverse, la longueur du vertex bien supérieure à la longueur des bords internes des orbites qui divergent à peine vers la bouche. Joues très peu inclinées, faisant avec la verticale un angle de  $55^\circ$ , leur longueur inférieure à la moitié de celle des orbites. Base du scrobe antennaire située exactement au niveau de la ligne oculaire. Tête, vue dorsalement, à peine incurvée, l'occiput incliné presque verticalement aussitôt derrière les yeux et l'aire ocellaire. Ocelles très petits, les ocelles latéraux distants des orbites d'une longueur égale à 3 fois leur diamètre. Tête, vue latéralement, étroite, lenticulaire, à front régulièrement convexe et médiocrement proéminent en avant des yeux.

Scape antennaire court, à peine plus long que les trois articles suivants réunis. Longueur du flagelle cylindrique dépassant très légèrement la largeur de la tête; funicule I presque 2 fois plus long que large; funicule VII subcarré, sa longueur égale aux  $\frac{2}{3}$  de celle du funicule I; massue assez courte, sa longueur égale à celle du funicule I et inférieure à celle des funicules VI et VII réunis.

Thorax 1 fois  $\frac{1}{2}$  plus long que large. Pronotum court (ses côtés plus courts que les tegulæ), dépourvu de carènes latérales, sa partie postérieure formant un vague collare à région dorsale arquée. Scapulæ presque planes, confondues avec le scutum, la dépression des sillons scapulaires nulle, sauf à leur base. Scutellum régulièrement convexe. Fovéoles polygonales du pro-

et mésonotum augmentant considérablement de taille sur le collare et le scutellum où leur diamètre atteint presque celui des ocelles latéraux.

Carènes latérales du propodeum armées de deux petites dents, la dent proximale à peine plus robuste que la dent distale; aréoles basales de petite taille et disposées en une rangée continue; grande cellule apicale, très inclinée, presque verticale, grossièrement coriacée, n'atteignant pas le métonotum dont elle est séparée par la rangée d'aréoles basales.

Hanches postérieures 2 fois plus longues que larges. Fémurs postérieurs à largeur supérieure à la moitié de leur longueur, leur bord ventral armé de 9—12 dents espacées, arrondies, la première pas plus robuste que les suivantes; disque de ces fémurs creusé de petits points sétifères quasi microscopiques, très épars, le tégument lisse entre les points. Tibias postérieurs à gouttière tarsale brève n'occupant que leur tiers apical, plus courte que les tarses.

Ailes antérieures à postmarginale 3 fois plus longue que la marginale.

Abdomen presque 1 fois  $\frac{1}{2}$  plus long que la tête et le thorax réunis. Tergite I creusé de petites fovéoles rondes et contiguës dans sa moitié antérieure, ces fovéoles plus petites et plus éparses dans sa moitié postérieure à zone apicale lisse. Côtés du tergite IV sculptés comme la région postérieure du tergite I. Tergites V et VI entièrement creusés de petites fovéoles rondes contiguës. Dernier tergite à partie basale cylindrique aussi longue que la partie apicale amincie portant les pygostyles, et séparée de cette dernière par un ressaut à bord épineux, les épines étant formées par l'apex des crêtes aciculaires; sillon dorsal étroit, non caréné latéralement; carènes bordant le canal médian ventral s'achevant à leur apex par deux processus spiniformes. Partie libre des valves de la tarière un peu plus courte que le dernier tergite.

Longueur: 15—18 mm. (tarière exclue).

♂: abdomen entièrement roux. Tête conformée comme celle de la ♀ mais avec la base du scrobe antennaire située un peu au-dessus de la ligne oculaire et les ocelles latéraux encore plus petits, distants des orbites d'une longueur égale à 4—5 fois leur diamètre. Antennes à flagelle ramifié, le funicule I prolongé par un rameau externe, le funicule II et les articles suivants, y compris les deux premiers articles de la massue, prolongés par deux rameaux identiques, l'un externe, l'autre interne. Ailes antérieures à postmarginale un peu inférieure au triple de la marginale. Abdomen avec les tergites I à VI creusés de petites fovéoles rondes contiguës, de taille uniforme; tergite VI obconique, fusionné avec le dernier tergite, la limite entre ces deux tergites indiquée par un rang de grosses fovéoles; dernier tergite triangulaire, environ 1 fois  $\frac{1}{2}$  plus long que large, ponctué dans sa moitié basale, strié longitudinalement dans sa moitié apicale terminée par une spinule médiane.

Longueur: 9—14 mm.

Holotype: 1 ♀, Stegi (Swaziland); X. 1917; G. D. H. Carpenter. Allotype: 1 ♂, Bembesi (Rhodésie du Sud); 1. I. 1927; R. H. R. Stevenson. Paratypes: 2 ♀♀, Matesi (Rhodésie du Sud); 28. X. 1934 et 16. XI. 1933; R. H. R. Stevenson; 2 ♀♀, Bulawayo (Rhodésie du Sud); 8. XII. 1924 et

9. X. 1933; R. H. R. Stevenson; 3 ♂♂, Bulawayo; 7. X. 1928. (Holotype au British Museum, N. H.; Allotype au National Museum of South Rhodesia.)

Espèce dédiée à Mr. G. J. Kerrich, mon estimé collègue du British Museum.

### Genre *Vespomorpha* nov.

#### Description du genre:

Voisin de *Larradomorpha* dont il diffère principalement par les caractères énumérés ci-dessous. Tête moins large. Flagelle antennaire (♂) noduleux. Abdomen (♀) ovoïde, à tergite I aussi long que le tergite V. Dernier tergite à partie basale renflée en simple bourrelet nettement plus court que la partie apicale amincie portant les pygostyles, cette partie basale sculptée de fovéoles rondes comme la partie apicale, et dépourvue de sillon dorsal; face ventrale de ce même tergite non prolongée par une paire de processus latéraux spiniformes, ni canaliculée sur le trajet de la fente longitudinale livrant passage à la tarière. Partie libre des valves de la tarière plus longue que le dernier tergite (leur longueur, chez le type du genre, atteint presque celle de l'abdomen). Abdomen (♂) à tergite VII subtriangulaire, arrondi à l'apex.

Type du genre: *V. auronitens* sp. n.

Répartition géographique: Région éthiopienne.

Ce genre, très proche de *Larradomorpha*, s'en écarte surtout par la structure du dernier tergite abdominal conformé comme chez d'autres Cratocentrini tels qu'*Allocentrus*, *Cratocentrus*, etc.

#### 1. *Vespomorpha auronitens* sp. n.

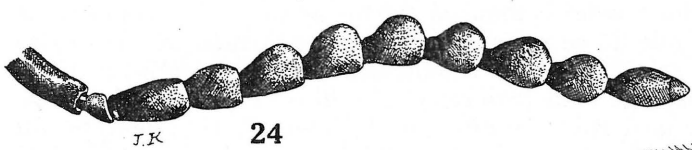
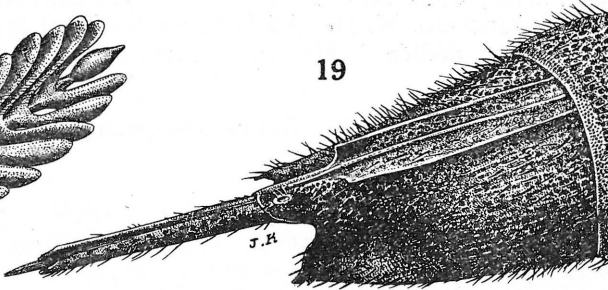
(Figs. 4, 17, 23 et 24)

♀: corps, antennes et pattes entièrement roux. Ailes antérieures à cellule radiale rousse, surtout enfumée à l'apex.

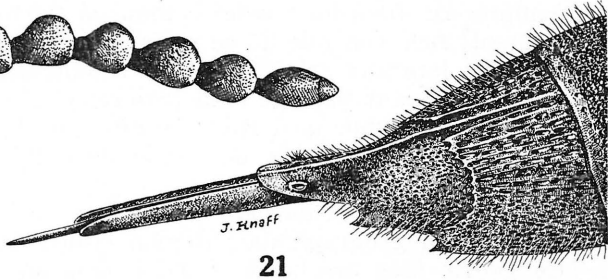
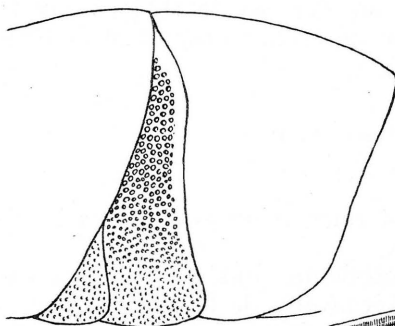
Région frontale de la tête, pleures, propodeum, ainsi que la face externe des hanches médianes et postérieures recouverts de longs poils blancs dressés; centre du pronotum, scutum, face postérieure des axilles, disque des fémurs postérieurs et tous les tergites abdominaux revêtus d'une pubescence assez fournie, composée de soies dorées, arquées ou couchées.

Tête, vue de face, un peu plus large que haute (4:3). Espace interorbitaire trapézoïdal, la largeur du vertex à peu près égale à la longueur des bords internes des orbites qui divergent vers la bouche. Joux faisant avec la verticale un angle de 45°, leur longueur atteignant la moitié de celle des orbites. Base du scrobe antennaire située exactement au niveau de la ligne oculaire. Tête, vue dorsalement, à peine incurvée, l'occiput incliné presque verticalement aussitôt derrière les yeux et l'aire ocellaire. Ocelles latéraux éloignés des orbites d'une distance égale au double de leur diamètre. Tête, vue latéralement, à front assez régulièrement convexe et proéminent en avant des yeux.

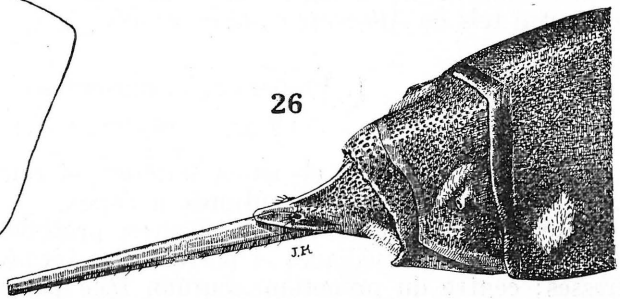
Scape antennaire court, à peine plus long que les trois articles suivants réunis. Longueur du flagelle cylindrique dépassant nettement la largeur de



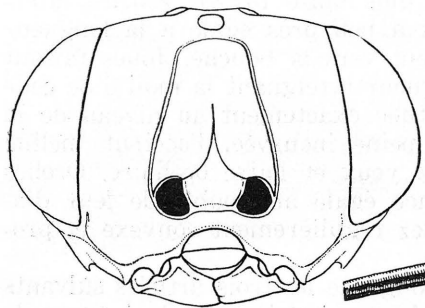
23



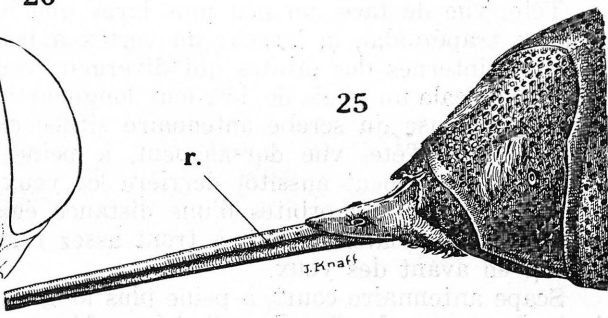
26



20



25



la tête (5:4); funicule I environ 2 fois plus long que large; funicule VII carré, sa longueur égale aux  $\frac{2}{3}$  de celle du funicule I; massue très courte, sa longueur inférieure à celle du funicule I et dépassant à peine celle du funicule VII.

Thorax 1 fois  $\frac{1}{2}$  plus long que large. Pronotum dépourvu de carènes latérales, à côtés aussi longs que les tegulæ, sa partie postérieure formant un vague collare à région dorsale arquée. Scapulæ presque planes, la dépression des sillons scapulaires à peine sensible. Scutellum régulièrement convexe. Fovéoles polygonales du pronotum augmentant considérablement de taille sur le collare où leur diamètre atteint presque celui des ocelles latéraux; fovéoles du mesonotum plus petites et de dimension uniforme.

Carènes latérales du propodeum armées de deux petites dents de taille identique; propodeum sans aréoles stigmatiques ni aréoles basales bien distinctes, les carènes séparant ces diverses aréoles de la grande cellule apicale étant plus ou moins effacées; grande cellule apicale divisée, en revanche, par deux carinules submédianes qui limitent une aréole médiane glabre.

Hanches postérieures cunéiformes, 2 fois plus longues que larges. Fémurs postérieurs à largeur supérieure à la moitié de leur longueur, leur bord ventral armé de 13—15 dents assez serrées, arrondies, la première pas plus robuste que les suivantes; disque de ces fémurs creusé de points sétifères très petits, quasi microscopiques, presque contigus, le tégument lisse entre ces points. Tibias postérieurs à gouttière tarsale très brève, n'occupant pas même leur tiers apical, plus courte que les tarses.

Ailes antérieures à postmarginale 3 fois plus longue que la marginale.

Abdomen un peu plus long que la tête et le thorax réunis. Tergite I, aussi long que le tergite V, dépourvu d'aréole basale distincte et creusé de petites fovéoles rondes contiguës sauf dans une étroite bande apicale lisse. Côtés du tergite IV sculptés comme le tergite I. Tergites V et VI entièrement creusés de petites fovéoles rondes contiguës, le bord apical du tergite V concave. Dernier tergite à partie basale épaissie en bourrelet également creusé de petites fovéoles rondes, et séparée de la partie apicale amincie portant les pygostyles par une crête irrégulière; carène médiane effacée sur le bourrelet non sillonné dorsalement. Partie libre des valves de la tarière presque aussi longue que l'abdomen et un peu plus longue que le thorax.

Longueur: 12—14,5 mm. (tarière exclue).

♂: pubescence dorée plus pâle, plus fine et moins abondante que chez la ♀. Tête plus large que chez la ♀ avec les joues très peu inclinées, formant avec la verticale un angle d'environ 60°, leur longueur seulement égale au tiers de celle des orbites. Base du scrobe antennaire nettement située

---

Figs. 19 à 26. — 19. *Larradomorpha insignis* Stad. ♀: apex de l'abdomen. — 20. *L. kerrichi* sp. n. ♀: tête. — 21. id.: apex de l'abdomen. — 22. id. ♂: antenne. — 23. *Vespomorpha auronitens* sp. n. ♀: angle latéral du tergite III et côté du tergite IV. — 24. id. ♂: antenne. — 25. *Acanthochalcis (Acanthochalcis) nigricans* Cam. ♀: apex de l'abdomen; r. sillon ou rainure latérale des valves de la tarière. — 26. *A. (Trypanochalcis) gigas* Steff. ♀: apex de l'abdomen.



au-dessus de la ligne oculaire tangente au sommet du clypeus. Ocelles latéraux distants des orbites d'une longueur égale au triple de leur diamètre. Antennes à flagelle noduleux très allongé, sa longueur égale au double de la largeur de la tête; funicule I environ 2 fois plus long que large; funicule II et articles suivants, sauf les deux derniers de la massue, progressivement raccourcis et renflés, presque pétiolés. Abdomen avec les tergites I à VI creusés de fovéoles rondes contiguës et de taille uniforme; tergite VI obconique, fusionné avec le dernier tergite, la limite entre ces deux tergites indiquée par une légère constriction; dernier tergite subtriangulaire, aussi long que large, entièrement ponctué comme les tergites précédents, son apex largement arrondi.

Longueur: 10 mm.

Holotype: 1 ♀, Bulawayo (Rhodésie du Sud); 14. X. 1922. Allotype: 1 ♂, Bulawayo; 13. X. 1938. Paratypes: 2 ♀♀, Bulawayo; X. 1922. (Holotype et Allotype au Museum National of South Rhodesia).

### Genre *Acanthochalcis* Cameron

*Acanthochalcis* Cameron, 1884, Biol. Centr. Am., 31, Hym 1, p. 100.

#### Description du genre:

Coloration et pubescence variables. Tête, vue latéralement, subtriangulaire, le vertex et le sommet du front plus ou moins aplatis et projetés en avant des yeux, le reste de la face étant incliné en arrière vers la bouche; espace interorbitaire transverse (♀), transverse ou carré (♂). Longueur du flagelle antennaire supérieure à la largeur de la tête (♀) ou parfois inférieure (♂), tous les articles funiculaires plus longs que larges (♀), sauf parfois les derniers (♂). Thorax nettement plus long que large. Partie postérieure du pronotum formant un collare, soit très vague, soit bien individualisé, caréné seulement sur les côtés, et à région dorsale plane ou un peu déprimée. Hanches postérieures allongées, cunéiformes ou fusiformes. Fémurs postérieurs également étroits et allongés, leur disque creusé de gros points sétifères épars. Abdomen (♀) longuement ovoïde, aussi long que la tête et le thorax réunis. Tergite I, dépourvu d'aréole basale distincte, à disque fortement ponctué. Tergites II à IV normalement cachés sous le tergite I, leurs angles postérieurs cependant plus ou moins visible. Tergites suivants fortement et densément ponctués, le bord apical du tergite V échancré en V. Dernier tergite à partie basale épaissie en collier en avant de la partie apicale amincie portant les pygostyles. Abdomen (♂) à tergite VI obconique; tergite VII triangulaire terminé par une spinule médiane.

Type du genre: *A. nigricans* Cameron.

Répartition géographique: Régions néarctique et éthiopienne.

Alors que les genres tels que *Cratocentrus* et *Allocentrus* réunissent chacun des formes très voisines les unes des autres, les trois espèces connues d'*Acanthochalcis* possèdent assez peu de caractère communs, si bien que l'on peut considérer ce dernier genre comme composite. Pour cette raison nous l'avons divisé en sous-genres monospécifiques. Le découverte probable de nouvelles espèces de ce groupe permettra de décider si ces sous-genres doivent être, ou non, maintenus.

## Clé des sous-genres et des espèces

- 1 — (4) Corps roux foncé, orné de macules noires plus ou moins envahissantes et revêtu de soies, les unes longues et fines, assez clairsemées, les autres arquées ou couchées, constituant une épaisse pubescence apprimée, brillante et argentée, qui couvre la face postérieure des axilles, les aréoles stigmatiques du propodeum et la face dorsale des hanches postérieures; en outre, ces mêmes soies forment toujours, chez la ♀, une paire de fascies arrondies sur les côtés du tergite V, une seconde paire de fascies falciformes derrière les stigmates du tergite VI, enfin une troisième paire de fascies sur les côtés de la partie apicale amincie du dernier tergite, tandis que chez le ♂ elles constituent une paire de fascies couvrant les côtés du tergite VI. Propodeum avec la grande cellule apicale dépourvue de carènes secondaires ou divisée par deux carènes submédianes.
- 2 — (3) Thorax, pattes et abdomen sans touffes de soies ou fascies autres que celles mentionnées précédemment. Antennes à flagelle cylindrique de dimension normale, tous les articles funiculaires un peu plus longs que larges (♀), ou les deux ou trois derniers subcarrés (♂). Thorax non comprimé dorso-ventralement. Collare prothoracique mal limité antérieurement, plus ou moins confondu avec le collus. Bordure du scutellum (postscutellum) présentant une alvéole médiane plus grande que les autres et remplaçant la côte habituelle. Propodeum à carènes latérales vaguement dentées à l'apex, les aréoles stigmatiques projetées de chaque côté de la grande cellule apicale comme pour embrasser la base de l'abdomen; cellule apicale inclinée presque verticalement comme les aréoles basales, et séparée de ces dernières par une carène régulièrement incurvée, la cellule apicale elle-même divisée par deux carènes submédianes incomplètes (♀), ou complètes (♀). Pattes assez longues. Gouttière tarsale des tibias postérieurs aussi longue que les tarse et s'étendant au-delà du milieu des tibias. Ailes à disque légèrement enfumé, plus sombre à l'apex; postmarginale 2 fois plus longue que la marginale (♀♂). Abdomen (♀) avec le tergite I à peine plus long que le tergite V, ses flancs aussi ponctués que le disque. Dernier tergite à partie basale, renflée en collier, franchement échancrée dorsalement, ses bords latéraux s'avancant comme un auvent qui surplombe la partie apicale amincie portant les pygostyles; bord ventral de cette partie apicale fortement crénelé. Partie libre des valves de la tarière environ aussi longue que l'abdomen et un peu plus longue que le thorax, les valves nettement sillonnées sur leurs côtés. Abdomen (♂) à tergite VI plus large que long; dernier tergite plus long que large, ponctué à sa base et plus ou moins strié dans ses deux tiers apicaux. Longueur ♀: 8,5—14 mm. (tarière exclue); ♂: 7—9,5 mm.
- ..... 1. A. (sous-genre *Acanthochalcis* nov.) *nigricans* Cameron
- 3 — (2) Côtés du pronotum et pleures ornés, chez la ♀, de quelques touffes de pubescence argentée, celle-ci formant encore une paire de fascies ronde sur les côtés du tergite I, des franges soyeuses sur le bord ventral des tergites III à V, enfin une fascie elliptique à l'apex du disque des fémurs postérieurs. Antennes à flagelle extrêmement allongé, les articles funiculaires 3 fois plus longs que larges, les derniers nettement aplatis comme la massue (♀). Thorax élané et comprimé dorso-ventralement. Collare prothoracique très gros, bien individualisé, sa région dorsale subrectangulaire, plane ou un peu déprimée. Bordure du scutellum (postscutellum) sans alvéole médiane, celle-ci étant remplacée, comme chez les autres *Cratocentrini*, par une côte séparant deux alvéoles submédianes. Propodeum à carènes latérales bidentées, la première dent située au niveau du stigmate, les aréoles stigmatiques non projetées de chaque côté de la grande cellule apicale; aréoles basales situées dans un plan à peu près horizontal; cellule apicale inclinée presque verticalement, non divisée par des carènes secondaires, cette cellule séparée des aréoles basales par une robuste carène anguleuse redressée en dent à son sommet. Pattes très longues. Gouttière tarsale des tibias postérieurs plus courte que les tarse et ne dépassant pas le milieu des tibias. Ailes antérieures à disque légèrement enfumé, non obscurci

à l'apex; postmarginale 2 fois  $\frac{1}{2}$  plus longue que la marginale (♀). Abdomen (♀) à tergite I nettement plus long que le tergite V, ses flancs à peine ponctués. Dernier tergite à partie basale séparée de la partie apicale amincie portant les pygostyles par un simple ressaut prolongé par une dent obtuse de chaque côté de la face ventrale de l'abdomen; bord ventral de la partie apicale portant les pygostyles, rectiligne. Partie libre des valves de la tarière extraordinairement allongée, un peu plus longue que la tête, le thorax et l'abdomen réunis, les valves non sillonnées sur leurs côtés. Longueur ♀: 14—16 mm. (tarière exclue); ♂ inconnu

2. A. (sous-genre *Trypanochalcis* nov.) *gigas* Steffan

- 4 — (1) Corps entièrement noir, uniquement revêtu de longues et fines soies dressées, assez clairsemées. Grande cellule apicale du propodeum divisée par une robuste carène médiane qui, à son point de rencontre avec la carène séparant la cellule apicale des aréoles basales, se prolonge par une dent aiguë. Abdomen (♂) à tergite VI aussi long que large; dernier tergite plus long que large, ponctué à sa base et plus ou moins strié dans ses deux tiers apicaux. Longueur ♀: 18 mm. (d'après Girault); ♂: 8 mm.

3. A. (sous-genre *Belochalcis* nov.) *unispinosa* Girault

# 1. *Acanthochalcis* (s. g. *Acanthochalcis* nov.) *nigricans* Cameron

(Figs. 25 et 33)

*Acanthochalcis nigricans* Cameron, 1884, Biol. Centr. Am., 31, Hym. 1, p. 100.

Grâce à l'obligeance du Muséum National de Washington et du Département entomologique de l'Université Cornell, nous avons pu examiner 9 ♀♀ et 6 ♂♂ de cette belle espèce qui, par son aspect général, se rapproche plus du « type moyen » des Cratocentrini que les deux formes suivantes. L'existence d'un large sillon qui évide les côtés des valves de la tarière sur toute leur longueur est un caractère que ne présente aucun autre membre de la tribu. D'après Girault et le catalogue « Hymenoptera of America North of Mexico » (U. S. Dept. of Agr., Agr. Monogr. 2, 1951, p. 585), une ♀ aurait été obtenue de *Chrysobothris femorata* (Ol.) (Col. Buprestidae).

Répartition géographique: Nord du Mexique (type de Cameron), Sud des Etats-Unis (Arizona; Nouveau-Mexique; Texas).

# 2. *Acanthochalcis* (s. g. *Trypanochalcis* nov.) *gigas* Steffan

(Figs. 26, 31 et 32)

*Acanthochalcis gigas* Steffan, 1950, Bull. Mus. H. N. Paris, (2) 22, p. 597.

Espèce aisément reconnaissable à sa pubescence argentée répartie en nombreuses touffes et fascies, à son thorax très élancé et aplati, à ses antennes extrêmement allongées et curieusement comprimées à l'apex, enfin à sa tarière démesurée. Carènes latérales du propodeum nettement bidentées, les aréoles basales, assez grandes, situées dans un plan presque horizontal. Toutes ces singularités légitiment, à notre avis, la création du sous-genre *Trypanochalcis*.

Répartition géographique: Madagascar (type et paratype de Steffan).

### 3. *Acanthochalcis* (s. g. *Belochalcis* nov.) *unispinosa* Girault

*Acanthochalcis unispinosa* Girault, 1917, New Chalcid. Flies, p. 5.

*Acanthochalcis unispinosa* Girault, 1920, Proc. U.S. Nat. Mus., 58, p. 194.

Cette seconde espèce néarctique semble plus rare que *A. nigricans* et, malheureusement, seul 1 ♂ a pu être communiqué par le Muséum National de Washington. Selon Girault, les antennes de la ♀ sont très allongées, avec le funicule I environ 3 fois plus long que large et les articles suivants à peine plus courts; chez le ♂, le funicule I est 2 fois plus long que large et le funicule VII encore 1 fois  $\frac{1}{2}$  plus long que large. La dimension des antennes de *A. unispinosa*, son thorax élancé à collare prothoracique bien individualisé, rapproche cette espèce de *A. gigas* dont elle diffère, cependant, par sa vestiture et la conformation de son propodeum.<sup>5)</sup>

Répartition géographique: Sud des Etats-Unis (Texas, Californie).

#### Genre *Cratocentrus* Cameron

*Cratocentrus Cameron*, 1907, Ann. S. Afr. Mus., 5, p. 215.

= *Cerachalcis* Masi, 1944, Ann. Mus. Genova, 62 (1945), p. 115,

= *Lepidochalcis* Nikolskaja, 1952, Faune de l'U.R.S.S., (Chalcidoidea), p. 91.

#### Description du genre:

Taille moyenne ou grande; ♀: 5—11 mm. (tarière exclue); ♂: 5—8 mm. Corps roux (roux clair à roux testacé) généralement orné de macules noires plus ou moins envahissantes et revêtu de soies les unes longues, fines et dressées, les autres généralement plus courtes, arquées ou couchées; les longs poils ne sont abondants que sur la tête et sur les pleures, tandis que les soies arquées ou couchées, nombreuses sur la région frontale de la tête, l'occiput, le collus du pronotum, le mesoscutum, les pleures, le mesosternum, les fémurs postérieurs, constituent encore une épaisse pubescence apprimée, brillante et argentée, sur les aréoles stigmatiques du propodeum et de la face externe des hanches médianes et postérieures; en outre, les mêmes soies forment toujours deux belles fascies argentées ou dorées ceinturant en partie le milieu du tergite V de la ♀, ou couvrant les côtés du tergite VI du ♂. Tête large, l'espace interorbitaire nettement transverse (♀), ou carré (♂), le vertex habituellement muni de deux cornicules mieux développés chez le ♂ que chez la ♀. Longueur du flagelle antennaire inférieure à la largeur de la tête (♀♂), les articles funiculaires soit à peine plus longs que larges ou carrés (♀), soit carrés ou transverses (♂). Thorax trapu, parfois presque cubique. Partie postérieure du pronotum individualisée en un collare très distinct, à région dorsale franchement arquée, et séparé du collus par deux carènes qui s'atténuent progressivement vers le milieu du pronotum. Scapulæ et axilles très médiocrement bombées. Bordure du scutellum (postscutellum) nettement mucronée à l'apex. Carènes

<sup>5)</sup> Il faut également noter que la dent interne des fémurs postérieurs, bien visible chez *A. nigricans* et *A. gigas*, est presque nulle chez le ♂ de *A. unispinosa* que nous avons pu examiner. D'autre part, sa postmarginale est nettement inférieure au double de la marginale, alors que chez les deux espèces précédentes elle est égale ou supérieure au double de cette nervure.

latérales du propodeum inermes. Aréoles stigmatiques triangulaires, horizontales, suivies d'une aréole secondaire verticale, subcarrée, glabre. Aréoles basales du propodeum disposées en une rangée continue entre le métanotum et la grande cellule apicale, celle-ci inclinée verticalement et divisée, chez le ♂, par deux carènes submédianes. Hanches postérieures cunéiformes, massives. Fémurs postérieurs très larges, à dent interne robuste, leur disque creusé de petits points sétifères très serrés. Tibias postérieurs à gouttière tarsale s'étendant bien au-delà de leur milieu, plus longue que les tarsi; face externe de ces tibias tronquée, creusée de petites fovéoles sériees le long de la gouttière. Ailes antérieures toujours enfumées à l'apex, la postmarginale 2 fois à 2 fois  $\frac{1}{2}$  plus longue que la marginale (♀♂). Abdomen (♀) brièvement ovoïde, sa longueur égale ou à peine supérieure à celle de la tête et du thorax réunis. Tergite I très convexe, pourvu d'une nette aréole basale, et à disque fortement et densément ponctué, à peine plus long que le tergite V. Tergites II à IV entièrement cachés sous le tergite I. Tergites suivants densément ponctuels, le bord postérieur du tergite V concave. Dernier tergite à partie basale épaissie en bourrelet en avant de la partie apicale amincie portant les pygostyles, la seule qui soit parcourue par une carène médiane. Partie libre des valves de la tarière à longueur très variable. Abdomen (♂) à tergite I très grossièrement ponctué ou même fovéolé; tergite VI obconique ou en forme de pavillon de trompette, sa partie apicale parfois longuement cylindrique; tergite VII échancré à l'apex entre deux spinules latérales.

Type du genre: *C. ruficornis* Cameron.

Répartition géographique: Régions éthiopienne et paléarctique (sous-région méditerranéenne).

Le genre *Cratocentrus* forme un ensemble si homogène que les caractères morphologiques sont à peu près inutilisables pour la séparation des espèces. Seule la structure des deux derniers tergites abdominaux des ♂♂ fournit d'intéressantes indications taxonomiques. Les ♀♀ diffèrent presque uniquement par l'aspect ou la disposition de la pubescence ou des fascies soyeuses, ces dernières risquant, d'ailleurs, de passer facilement inaperçues si l'insecte n'a pas été dégraissé avec soin. De nombreux caractères, tels que la forme ou la coloration de l'aréole basale du tergite I de l'abdomen, ou la ponctuation de cet urotergite et des suivants, caractères qui ont permis à Masi (1944) d'établir sa table analytique, sont sans valeur.

Dans notre clé nous n'avons pas inclu les espèces suivantes:

- *Cerachalcis birmana* Masi, 1944, *Ann. Mus. Genova*, 62 (1945), p. 135, qui, probablement, n'appartient pas au genre *Cratocentrus*. Le type unique de cette espèce, récolté en Birmanie, a disparu.
- *Cratocentrus tomentosus* (Nikolskaja)  
*Lepidochalcis tomentosa* Nikolskaja, 1952, Faune de l'U.R.S.S. (Chalcidoidea) p. 92, espèce récoltée en Iran et insuffisamment connue de nous.

De tous les genres de la tribu, *Cratocentrus* paraît le plus riche en espèces. Outre celles signalées dans ce travail, il existe d'autres formes encore inédites, mais représentées dans les collections par une ♀ unique ou un ♂.



Etant donnée la variabilité des caractères spécifiques des *Cratocentrus*, nous avons préféré ne pas les décrire. Cependant nous donnons la figure d'un ♂ indéterminé du Liberia, remarquable par l'extraordinaire développement de ses deux derniers tergites abdominaux (Fig. 9).

#### Clé des espèces (♀♀)

- 1 — (4) Région frontale de la tête et sillons scapulaires revêtus d'une épaisse pubescence apprimée très brillante cachant les téguments. Fovéoles polygonales des scapulæ et de la partie postérieure du scutum à peine plus petites que celles du scutellum. Fémurs postérieurs à disque peu bombé et à bord dorsal médiocrement arqué. Fascies soyeuses du tergite V toujours 2 fois plus larges qu'un flagelle antennaire, le tergite VI également orné d'une paire de belles fascies soyeuses analogues à celles de l'urite précédent, ces fascies nettement limitées vers le milieu du tergite où elles sont séparées par une zone parfaitement glabre.
- 2 — (3) Pubescence de la région frontale de la tête, ainsi que les fascies des sillons scapulaires et de l'abdomen, jaune doré, les fascies latérales du tergite V séparées par un espace égal à la moitié de la largeur du scutellum. Partie libre des valves de la tarière égale aux  $\frac{2}{3}$  de la longueur du thorax. Longueur: 8—10 mm. (tarière exclue) . . . . . 1. *C. decoratus* (Klug)
- 3 — (2) Pubescence de la région frontale de la tête, ainsi que les fascies des sillons scapulaires et de l'abdomen argentées, les fascies latérales du tergite V séparées par un espace égal à la largeur du scutellum. Partie libre des valves de la tarière aussi longue que le thorax. Longueur: 8—10 mm. (tarière exclue) . . . . . 2. *C. fastuosus* (Masi)
- 4 — (1) Région frontale de la tête couverte de petites soies clairsemées, les sillons scapulaires totalement dépourvus de fascies soyeuses. Fovéoles polygonales des scapulæ et de la partie postérieure du scutum beaucoup plus petites que celles du scutellum ou même indiscernables. Fémurs postérieurs à disque fortement bombé et à bord dorsal très arqué. Fascies soyeuses du tergite V toujours jaune doré.
- 5 — (8) Collus du pronotum orné d'une macule noire débordant parfois sur le collare. Fovéoles polygonales du scutum, des scapulæ et des axilles distinctes. Fascies soyeuses du tergite V à largeur égale ou un peu inférieure au double de la largeur d'un flagelle antennaire, ces fascies séparées par un espace égal ou inférieur à la moitié de la largeur du scutellum. Tergite VI orné d'une paire de belles fascies soyeuses analogues à celles du tergite précédent. Partie libre des valves de la tarière aussi longue ou presque aussi longue que le thorax.
- 6 — (7) Face dorsale des hanches postérieures, creusée de quelques gros points épars, presque glabre. Fascies latérales du tergite VI indistinctement limitées vers le milieu du tergite qui demeure plus ou moins pubescent. Partie apicale du dernier tergite, en arrière du bourrelet basal, recouverte d'une pubescence un peu apprimée, moins fournie que celle des fascies abdominales et plus pâle, légèrement argentée. Longueur: 6—10,5 mm. (tarière exclue) . . . . . 3. *C. ruficornis* Cameron
- 7 — (6) Face dorsale des hanches postérieures revêtue d'une épaisse pubescence apprimée jaune doré, cachant le tégument. Fascies latérales du tergite VI très distinctement limitées vers le milieu du tergite où elles sont séparées par une zone parfaitement glabre. Partie apicale du dernier tergite, en arrière du bourrelet basal, revêtue d'une épaisse pubescence apprimée aussi fournie que celle des fascies abdominales et, comme elles, jaune doré. Longueur: 8—8,5 mm. (tarière exclue) . . . . . 4. *C. maculicollis* (Masi)
- 8 — (5) Collus du pronotum et collare entièrement roux testacé. Scutum, scapulæ et axilles à sculpture très confuse, les fovéoles indiscernables, les courtes soies

épaisses et arquées, couvrant cette région thoracique, très nombreuses et formant une sorte de pruinosité. Fascies soyeuses du tergite V pas plus larges qu'un flagelle antennaire. Tergite VI dépourvu de fascies soyeuses, sa sculpture et sa pubescence identiques à celles du scutum, des scapulæ et des axilles.

- 9 — (12) Vertex arrondi, muni de cornicules. Fascies latérales du tergite V séparées par un espace au plus égal à la moitié de la largeur du scutellum. Partie libre des valves de la tarière au moins aussi longue que le thorax.
- 10 — (11) Cornicules peu développées. Partie libre des valves de la tarière aussi longue que le thorax. Longueur: 7—9,5 mm. (tarière exclue) . . . . . 5. *C. pruinus* sp. n. forme *typicus*
- 11 — (10) Cornicules très aiguës. Partie libre des valves de la tarière 1 fois  $\frac{1}{2}$  plus longue que le thorax. Longueur: 7—9,5 mm. (tarière exclue) . . . . . *C. pruinus* sp. n. var. *cornutus* n.
- 12 — (9) Vertex et sommet du front très plats, comme écrasés, sans cornicules. Fascies latérales du tergite V séparées par un espace à peu près égal à la largeur du scutellum. Abdomen globuleux, la partie libre des valves de la tarière très courte, au plus égale à la moitié de la longueur du thorax. Longueur: 5,5—6,5 mm. (tarière exclue) . . . *C. pruinus* sp. n. var. *brevicaudatus* n.

#### Clé des espèces (♂♂)

- 1 — (2) Région frontale de la tête et sillons scapulaires revêtus d'une épaisse pubescence apprimée très brillante, argentée, cachant les téguments. Tergite VI obconique, à côtés peu incurvés lorsqu'il est vu dorsalement ou latéralement, ce tergite orné de deux fascies soyeuses argentées assez peu fournies. Dernier tergite 2 fois plus long que large, légèrement échancré à l'apex entre les deux courtes spinules latérales. Longueur: 6—8 mm. . . . . 2. *C. fastuosus* (Masi)
- 2 — (1) Région frontale de la tête couverte de petites soies clairsemées, les sillons scapulaires totalement dépourvus de fascies soyeuses. Tergite VI en forme de pavillon de trompette, à côtés très incurvés lorsqu'il est vu dorsalement ou latéralement, ce tergite orné de deux épaisses fascies soyeuses jaune doré.
- 3 — (6) Dernier tergite au moins 2 fois plus long que large. Vertex muni de deux cornicules bien apparentes.
- 4 — (5) Dernier tergite 2 fois plus long que large, échancré à l'apex entre deux spinules latérales assez longues. Cornicules du vertex aiguës. Longueur: 5—7 mm. . . . . 5. *C. pruinus* sp. n. forme *typicus*
- 5 — (4) Dernier tergite 3 fois plus long que large, très profondément incisé à l'apex entre deux très longues spinules latérales. Cornicules du vertex très aiguës. Longueur: 7 mm. . . . . *C. pruinus* sp. n. var. *cornutus* n.
- 6 — (3) Dernier tergite à peine plus long que large, très faiblement échancré à l'apex entre deux vagues spinules latérales. Cornicules du vertex presque nulles. Longueur: 5,5—6 mm. . . . . *C. pruinus* sp. n. var. *brevicaudatus* n.

#### 1. *Cratocentrus decoratus* (Klug)

*Chalcis decorata* Klug, 1834, Symb. Phys. Dec. quarta Ins., T. 37.

*Cerachalcis decorata* Masi, 1944, *Ann. Mus. Genova*, 62 (1945), p. 133,

= *Cerachalcis fastuosa* Masi subsp. *aurata* Masi, 1944, *Ibid.* p. 125.

Espèce à corps presque entièrement roux, les macules noires de la tête, du thorax et de l'abdomen généralement peu étendues. Vertex à cornicules assez bien développées. Face postérieure des axilles recouverte d'une épaisse pubescence argentée.

Distribution géographique: Arabie (type de Klug); Iles du Cap vert (1 ♀, Musée de Genève); Somalie française (1 ♀, Museum H. N. de Paris); Soudan (2 ♀♀, British Museum, N. H.); Haute-Egypte (2 ♀♀, types de *C. fastuosa* Ms. subsp. *aurata* Ms.).

## 2. *Cratocentrus fastuosus* (Masi)

(Figs. 5 et 37)

*Cerachalcis fastuosa* Masi, 1944, *Ann. Mus. Genova*, 62 (1945), p. 123,  
= *Cerachalcis cerambycida* Masi, 1944, *Ibid.*, p. 126.

Espèce à corps souvent presque entièrement noir, les macules sombres généralement très envahissantes; il existe cependant des individus à collare prothoracique, scutellum et pleures rousses. Vertex à cornicules peu distinctes, surtout chez les ♀♀. Face postérieure des ailes recouverte, comme chez l'espèce précédente, d'une épaisse pubescence argentée. Lorsqu'un plus grand nombre d'exemplaires de *C. decoratus* et de *C. fastuosus* auront été étudiés, on découvrira peut-être que ces insectes ne sont que des variétés d'une seule espèce. En Algérie *C. fastuosus* a été obtenu de *Derolus mauritanicus* Buq. (Col. Cerambycidae); du Maroc, M. Ch. Rungs m'a communiqué 2 ♀♀ et 1 ♂ parasites de *Icosium tomentosum* Luc. (Col. Cerambycidae) sur *Callithrix* sp. et de *Melanophila picta* Pall. (Col. Buprestidae) sur *Sallix* sp.

Distribution géographique: Afrique du Nord, du Maroc à la Cyrénaïque.

## 3. *Cratocentrus ruficornis* Cameron

- Cratocentrus ruficornis* Cameron 1907, *Ann. S. Afr. Mus.*, 5, p. 216,  
? = *Cratocentrus argenteopilosus* Cameron, 1907, *Ibid.*, p. 215,  
? = *Cratocentrus bicornutus* Cameron, 1907, *Ibid.*, p. 217,  
= *Cratocentrus auropilosus* Cameron, 1911, *Ann. Transv. Mus.*, 2, p. 213,  
= *Cerachalcis auropilosa* Masi, 1944, *Ann. Mus. Genova*, 62 (1945), p. 127,  
= *Cerachalcis elegans* Masi, 1944, *Ibid.*, p. 128,  
= *Cerachalcis bicornuta* Masi, 1944, *Ibid.*, p. 130,  
= *Cerachalcis argenteopilosa* Masi, 1944, *Ibid.*, p. 131,  
= *Cratocentrus bicornutus* Steffan, 1955, *Ann. Mus. Congo, Tervuren, Zool.* 40, p. 376.

Le type, *C. ruficornis*, assez mutilé, nous paraît identique au type de *C. auropilosus* qui demeure dans un parfait état de conservation. Les types de *C. argenteopilosus* et de *C. bicornutus* ont disparu et leur description insuffisante ne permet pas de décider s'ils sont, ou non, synonymes de *C. ruficornis*.

Tous les *Cratocentrus* d'Afrique australe ou orientale que nous avons pu examiner diffèrent très peu les uns des autres. Tout au plus peut-on distinguer une forme claire d'Afrique du Sud (antennes entièrement ou presque entièrement rousses; thorax à roux tirant sur le rouge clair) et une forme plus sombre des régions montagneuses d'Afrique orientale (antennes en grande partie noires; thorax roux tirant sur le brun). Encore cette classification souffre-t-elle des exceptions.

Distribution géographique: Union Sud-Africaine; Sud-Ouest africain; Rhodésie du Sud; Nyassaland; Kenya, Congo belge (Katanga; Ruanda-Urundi).

#### 4. *Cratocentrus maculicollis* (Masi)

*Cerachalcis maculicollis* Masi, 1944, *Ann. Mus. Genova*, 62 (1945), p. 132.

Espèce très voisine de *C. ruficornis* dont elle ne se distingue que par les caractères donnés dans la clé.

Distribution géographique: Erythrée (type de Masi); Congo belge (Kivu) (1 ♀, Musée Royal du Congo belge).

#### 5. *Cratocentrus pruinus* sp. n.

(Figs. 6, 7, 8, 18, 27, 28, 29, 30, 34, 35 et 36)

♀ : tête et antennes entièrement rousses, à l'exception de la marge du foramen occipital noire. Thorax plus ou moins maculé de noir, mais avec le pronotum et le scutellum toujours entièrement roux, ainsi que le sommet des mésépisternes. Pattes rousses, le disque des fémurs postérieurs parfois taché de noir. Abdomen roux, sa face dorsale un peu rembrunie, l'aréole basale du tergite I parfois noire. Ailes antérieures à disque légèrement jaunâtre, orné à l'apex d'une tache plus enfumée.

Courtes soies arquées, de couleur jaunâtre, largement réparties et couvrant comme d'une pruine la région frontale de la tête et l'occiput, le collus du pronotum, tout le mesonotum (sauf le scutellum), les pleures, le mesosternum, le tergite VI de l'abdomen et la partie basale épaissie en bourrelet du dernier tergite; disque des fémurs postérieurs revêtu de soies analogues, mais un peu plus fines et couchées; milieu du tergite VI orné de deux belles fascies brillantes, jaune doré, très étroites, leur largeur égale à celle d'un flagelle antennaire; partie apicale amincie du dernier tergite, en arrière du bourrelet basal, recouverte d'une belle pubescence jaune apprimée, analogue à celle des fascies du tergite V.

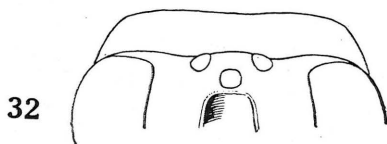
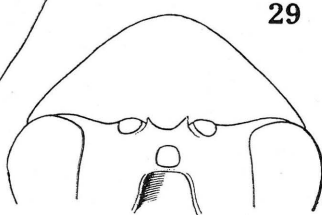
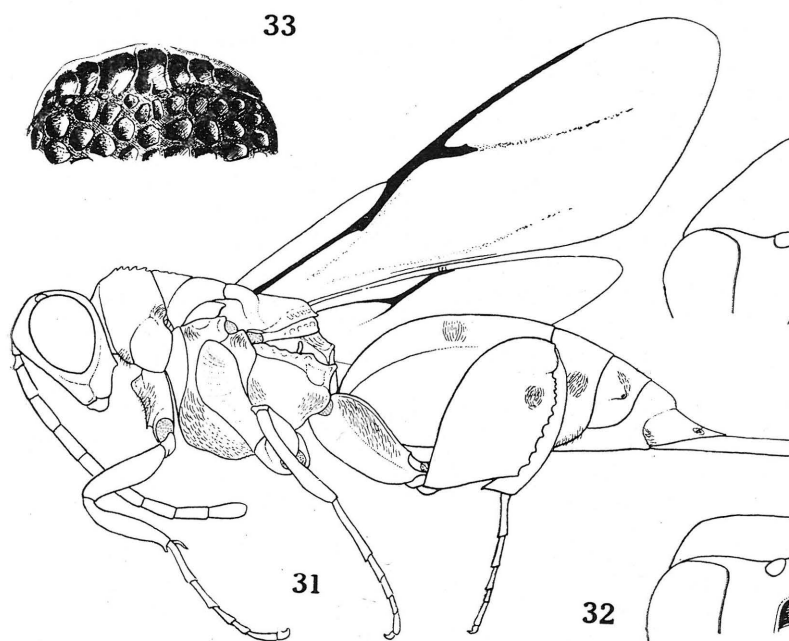
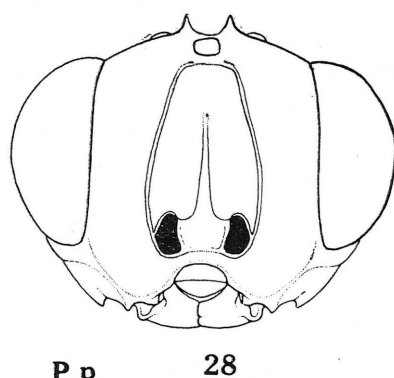
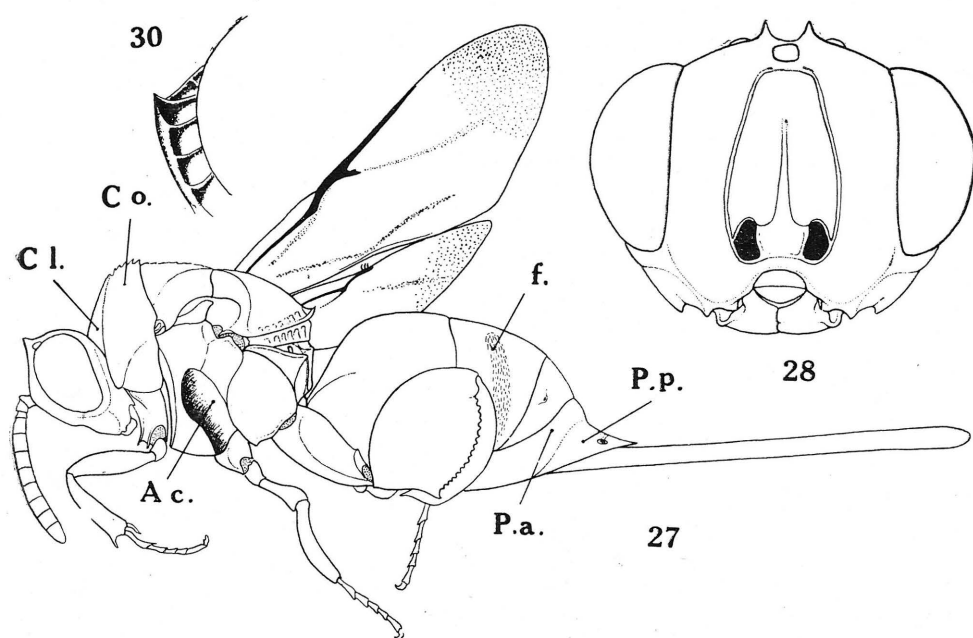
Flagelle antennaire à funicule I à peine plus long que large; funicule VII carré, aussi long que le funicule I; massue beaucoup plus longue que la funicule I, égale aux funicules VI et VII réunis.

Scutum, scapulæ et axilles à sculpture très confuse, les fovéoles indiscernables.

Face dorsale des hanches postérieures glabre, creusée de quelques gros points épars. Fémurs postérieurs à largeur toujours supérieure à la moitié de leur longueur, leur bord ventral armé de 12-20 petites dents arrondies et contiguës, la première un peu plus robuste que les suivantes; disque de ces fémurs creusé de petits points sétifères très serrés.

Tous les tergites abdominaux creusés de petites fovéoles rondes contiguës, le tergite VI et la partie basale épaissie en bourrelet du dernier tergite, à sculpture cependant très confuse, rappelant celle de la région antérieure du mésonotum.

Figs. 27 à 33. — 27. *Cratocentrus pruinus* sp. n. f. typique ♀ : habitus; Cl.: collus; Co.: collare; Ac.: acetabulum mésopleural; P a.: partie antérieure du tergite VII; P. p.: partie postérieure du tergite VII. — 28. id.: tête. — 29. id.: sommet de la tête et pronotum. — 30. id.: apex du scutellum, vu de trois-quarts. — 31. *Acanthochalcis* (*Trypanochalcis*) *gigas* Steff. ♀ : habitus. — 32. id.: sommet de la tête et pronotum. — 33. *A. (Acanthochalcis)* *nigricans* Cam. ♀ : apex du scutellum.



♂ : corps à parties rousses plus rembrunies, l'occiput et le collus du pronotum parfois maculés de noir; antennes à pédicelle et annellus également noirs; funicule I carré, funicule VII aussi long que le funicule I, plus ou moins transverse; massue, beaucoup plus longue que le funicule I, égale aux deux derniers articles funiculaires réunis. Abdomen avec les tergites I à IV creusés de fovéoles rondes contiguës, celles de la portion basale du tergite I, beaucoup plus grandes et grossières que les autres. Tergite VI, en forme de court pavillon de trompette, orné latéralement de deux épaisses fascies soyeuses jaune doré.

Forme *typicus*. ♀ : tête à espace interorbitaire subcarré; cornicules du vertex peu développées; fascies du tergite V séparées par un espace égal, au plus, à la moitié de la largeur du scutellum; valves de la tarière aussi longues que le thorax. Longueur: 7—9,5 mm (tarière exclue).

♂ : cornicules du vertex aiguës; dernier tergite environ 2 fois plus long que large, échancré à l'apex entre deux spinules assez longues. Longueur: 5—7 mm.

Holotype: 1 ♀ et Allotype: 1 ♂, Bekily; III, 1939. Paratypes: 16 ♀♀ et 19 ♂♂, Bekily, Behara et Betroka (Sud du Madagascar); J. Seyrig. 2 ♀♀ ont été obtenues d'un *Apate* sp. (Col. Bostrychidae) et 15 ♂♂ de *Noemia obtusicollis* Frm. (Col. Cerambycidae).

var. *cornutus*. ♀ : tête à espace interorbitaire subcarré; cornicules du vertex très aiguës; fascies du tergite V séparées par un espace inférieur à la moitié de la largeur du scutellum; valves de la tarière 1 fois  $\frac{1}{2}$  plus longues que le thorax.

Longueur: 7—9,5 mm (tarière exclue).

♂ : cornicules du vertex très aiguës; dernier tergite environ 3 fois plus long que large, très profondément incisé à l'apex entre deux longues spinules. Longueur: 7 mm.

Holotype: 1 ♀. Allotype: 1 ♂. Paratypes: 3 ♀♀, 2 ♂♂, Behara (Sud de Madagascar); VI. 1938; J. Seyrig.

var. *brevicaudatus*. ♀ : tête à espace interorbitaire transverse; vertex et sommet du front plats, comprimés, sans trace de cornicules; fascies du tergite V séparées par un espace égal à la largeur du scutellum; abdomen presque globuleux, les valves de la tarière très courtes, égales, au plus, à la moitié de la longueur du thorax. Longueur: 5,5—6,5 mm (tarière exclue).

♂ : cornicules presque nulles; dernier tergite à peine plus long que large, très faiblement échancré à l'apex entre deux vagues spinules. Longueur: 5,5—6 mm.

Holotype: 1 ♀. Allotype: 1 ♂. Paratypes: 4 ♀♀, 1 ♂, Bekily (Sud de Madagascar); VI. 1943; J. Seyrig. Tous ces individus ont été obtenus d'*Antobaphus rufotinctus* Frm. (Col. Curculionidae).

Types et paratypes de la forme *typicus* et des variétés au Muséum H. N. de Paris.

Cette espèce est remarquable par l'étroitesse des fascies du tergite V, l'absence de fascies analogues sur le tergite VI, et le développement de la courte pubescence pruinée qui donne à l'insecte un aspect mat et cendré; l'étroite zone apicale lisse des tergites I et V est encore plus réduite que chez les autres *Cratocentrus*.



Genre *Acrocentrus* nov.

## Description du genre:

Voisin de *Cratocentrus*, dont il diffère principalement par les caractères énumérés ci-dessous. Tête dépourvue de cornicules sur le vertex. Partie postérieure du pronotum formant un très vague collare caréné seulement sur les côtés et à région dorsale plane. Aréoles stigmatiques du propodeum projetées de chaque côté de la grande cellule apicale comme pour embrasser la base de l'abdomen, ces aréoles s'achevant par une sorte de processus bidenté. Fémurs postérieurs notablement plus étroits. Tibias postérieurs à gouttière tarsale très courte, n'occupant que leur tiers apical. Abdomen (♀) à tergite I dépourvu d'aréole basale distincte. Tergite V orné d'une paire de fascies soyeuses latérales peu épaisses, arrondies, mal limitées. Dernier tergite à partie basale renflée seulement sur les côtés et cachée sous le tergite précédent lorsque l'abdomen est examiné dorsalement; partie apicale amincie, portant les pygostyles, à bord ventral crénelé. ♂ inconnu.

Type du genre: *A. erythrothorace* sp. n.

Répartition géographique: Madagascar.

Chez l'espèce type d'*Acrocentrus*, la bordure postérieure du scutellum est mucronée comme chez les *Cratocentrus*. Ce caractère n'est propre qu'à ces deux genres.

1. *Acrocentrus erythrothorace* sp. n.

(Figs. 38, 39 et 40)

♀: corps, pattes et antennes rouge brunâtre, la flagelle antennaire, la face dorsale de l'abdomen et les valves de la tarière noirs ou noirâtres. Ailes antérieures à disque uniformément et légèrement enfumé, roussâtre, au-delà du speculum basal hyalin. Longues soies dressées très rares. Soies arquées ou couchées ne constituant que des touffes de pubescence apprimée, brillante et argentée, couvrant la base des sillons scapulaires, la face postérieure des axilles, les mésépisternes et le mesosternum, les aréoles stigmatiques du propodeum et la face externe des hanches médianes et postérieures. En outre, ces mêmes soies, nombreuses sur le tergite I de l'abdomen, forment une paire de fascies arrondies, mal limitées, ornant les côtés du tergite V et constituent une épaisse pubescence apprimée couvrant la base du dernier tergite.

Tête, vue de face, un peu plus large que haute (4:3). Espace inter-orbitaire subcarré, la largeur du vertex égale à la longueur des bords internes des orbites qui divergent peu vers la bouche. Joues faisant avec la verticale un angle de 45°, leur longueur atteignant la moitié de celle des orbites. Base du scrobe antennaire visiblement située au-dessous de la ligne oculaire. Tête, vue dorsalement, fortement incurvée pour emboîter le collus du pronotum. Ocelles latéraux distants des orbites d'une longueur égale à leur diamètre. Tête, vue latéralement, à front proéminent en avant des yeux et formant un angle aigu avec le vertex.

Scape antennaire égal aux quatre articles suivants réunis; longueur du flagelle cylindrique égale à la largeur de la tête; funicule I à peine plus long

que large (12:9); funicule VII carré (10:10), un peu plus court que le funicule I; massue, nettement plus longue que la funicule I, un peu inférieure aux deux derniers articles du funicule réunis.

Thorax presque 1 fois  $\frac{1}{2}$  plus long que large. Pronotum à côtés aussi long que les tegulae, sa partie postérieure formant un vague collare caréné latéralement et à région dorsale plane. Scapulae et axilles médiocrement convexes, les sillons scapulaires cependant bien marqués. Bordure du scutellum (postscutellum) mucronée à l'apex. Fovéoles polygonales du pronotum augmentant sensiblement de taille sur le collare; fovéoles du mesonotum, de dimension uniforme, aussi grandes que celles du collare.

Aréoles stigmatiques du propodeum subtriangulaires, horizontales, projetées de chaque côté de la grande cellule apicale comme pour embrasser la base de l'abdomen, ces aréoles s'achevant par une sorte de processus bidenté; grande cellule apicale inclinée presque verticalement derrière les petites aréoles basales disposées en un rang continu.

Hanches postérieures cunéiformes, 1 fois  $\frac{1}{2}$  plus longues que larges, leur face dorsale glabre, creusée de quelques gros points épars. Fémurs postérieurs assez étroits, presque 2 fois plus longs que larges, leur bord ventral armé d'une dizaine de dents aiguës, très espacées, la première beaucoup plus robuste que les suivantes; disque de ces fémurs creusé de petits points sétifères contigus, le tégument lisse entre les points. Tibias postérieurs à gouttière tarsale très brève n'occupant que leur tiers apical, plus courte que les tarsi; face externe de ces tibiai ni tronquée, ni creusée de fovéoles sérées.

Ailes antérieures à postmarginale 2 fois plus longue que la marginale.

Abdomen ovoïde, un peu comprimé latéralement, aussi long que la tête et le thorax réunis. Tergite I très convexe, plus long que le tergite V, dépourvu d'aréole basale distincte et creusé de petites fovéoles rondes contiguës sauf dans une très étroite zone lisse apicale. Tergites II à IV entièrement recouverts par le tergite I. Tergites V et VI sculptés comme le tergite I, le bord apical du tergite V concave, celui du tergite VI relevé latéralement en deux petites bosses. Dernier tergite à partie basale seulement épaissie sur les côtés et cachée sous le tergite précédent lorsque l'abdomen est examiné dorsalement; partie apicale amincie très courte, pas plus longue que large, avec les pygostyles saillants et son bord ventral crénelé. Partie libre des valves de la tarière aussi longue que le thorax et l'abdomen réunis.

Longueur: 6,5 mm (tarière exclue).

Holotype: 1 ♀, Behara (Sud de Madagascar); III. 1937; A Seyrig (Muséum H. N. de Paris).

### Genre *Spatocentrus* nov.

#### Description du genre:

Voisin de *Cratocentrus* dont il diffère principalement par les caractères énumérés ci-dessous. Tête de la ♀ à occiput caréné entre les ocelles latéraux, cette carène transformée en lame saillante bidentée chez le ♂. Partie postérieure du pronotum formant un très vague collare à région dorsale arquée, mais carénée seulement sur les côtés. Bordure du scutellum (postscutellum)

non mucronée à l'apex. Thorax de la ♀ surtout remarquable par ses axilles très convexes, formant deux bosses proéminentes encadrant le scutellum, et son propodeum à carènes latérales bidentées, les aréoles stigmatiques s'abaissant nettement vers l'extrémité du propodeum. Thorax du ♂ avec les axilles peu convexes, les carènes latérales du propodeum inermes et les aréoles stigmatiques horizontales. Abdomen (♀) plus large, un peu comprimé dorso-ventralement. Tergite I dépourvu d'aréole basale distincte. Tergite V orné d'une paire de fascies soyeuses latérales, peu épaisses, mal limitées. Dernier tergite à partie basale renflée seulement sur les côtés et cachée sous le tergite précédent lorsque l'abdomen est examiné dorsalement. Abdomen (♂) identique à celui des *Cratocentrus*.

Type du genre: *S. arnoldi* sp. n.

Répartition géographique: Région éthiopienne.

Ce genre, comme le précédent, n'est représenté que par une seule espèce. On le reconnaît aisément à l'abondance de longs poils érigés qui, recouvrant la tête, le thorax et les pattes, leur donnent un aspect hirsute. Les axilles de la ♀ sont bossues comme chez plusieurs *Allocentrus*. Le ♂ ressemble beaucoup aux *Cratocentrus* du même sexe, notamment par la structure de son dernier tergite abdominal.

### 1. *Spatocentrus arnoldi* sp. n.

(Figs. 10, 41 et 42)

♀ : tête brun rougeâtre, la base et le sommet du front, ainsi que l'occiput, plus ou moins maculés de noir. Antennes à flagelle brun noirâtre. Thorax brun rougeâtre, avec au moins le collus du pronotum et l'acétabulum latéral du collare, les axilles, la bordure postérieure du scutellum, le metanotum, le propodeum, les mésopleures, entièrement ou partiellement noirs. Pattes et abdomen brun rougeâtre, la base des tergites abdominaux parfois assombrie, l'apex des valves de la tarière noir. Ailes parfaitement hyalines.

Longs poils dressés très nombreux sur la tête, les côtés du thorax et les pattes qui, de ce fait, prennent un aspect hirsute. Soies arquées ou couchées assez abondantes sur la tête, le collus du pronotum et l'acétabulum du collare, la base des sillons scapulaires et la face dorsale des axilles, les mésopleures, le mesosternum, le disque des fémurs postérieurs, et constituant une épaisse pubescence apprimée, brillante et argentée, sur les aréoles stigmatiques du propodeum et les faces externes et dorsales des hanches médianes et postérieures. En outre, ces mêmes soies, largement réparties sur la moitié basale et les côtés du tergite I de l'abdomen, le tergite VI et le dernier tergite, forment une paire de fascies peu épaisses, mal limitées, sur les côtés du tergite V.

Tête, vue de face, à peine plus large que haute. Espace interorbitaire légèrement transverse, la largeur du vertex un peu supérieure à la longueur des bords internes des orbites qui divergent à peine vers la bouche. Joues faisant avec la verticale un angle de 45°, leur longueur atteignant la moitié de celle des orbites. Base des scrobes antennaires visiblement située au-dessous de la ligne oculaire. Tête, vue dorsalement, peu incurvée, l'occiput incliné

presque verticalement aussitôt derrière les yeux et l'aire ocellaire, celle-ci carénée entre les ocelles latéraux. Ocelles latéraux distants des orbites d'une longueur égale à 1 fois  $\frac{1}{2}$  leur diamètre. Tête, vue latéralement, étroite lenticulaire, à front médiocrement convexe et proéminent en avant des yeux.

Scape antennaire un peu plus long que les quatre articles suivants réunis; longueur du grêle flagelle cylindrique supérieure à la largeur de la tête; funicule I environ 2 fois plus long que large; funicule VII, au moins égal aux  $\frac{3}{4}$  du funicule I, encore nettement plus long que large; massue courte, à peu près égale au funicule I, et un peu plus longue que le funicule VII.

Thorax 1 fois  $\frac{1}{2}$  plus long que large. Pronotum à côtés aussi longs que les tegulae, sa partie postérieure formant un vague collare caréné latéralement et à région dorsale très arquée. Scapulae nettement bombées, mais les axilles encore plus convexes, formant deux bosses très proéminentes de chaque côté du scutellum. Bordure du scutellum (postscutellum) inerme. Fovéoles polygonales du pronotum augmentant sensiblement de taille sur le collare; fovéoles du mésonotum de dimension uniforme, aussi grandes que celles du collare.

Carènes latérales du propodeum bidentées, la première dent située au niveau du stigmate. Aréoles stigmatiques s'abaissant vers l'extrémité du propodeum dont elles sont séparées par une aréole secondaire verticale, glabre, très transverse; grande cellule apicale inclinée presque verticalement comme les petites aréoles basales disposées en un rang continu.

Hanches postérieures cunéiformes, allongées, 2 fois plus longues que larges, leur face dorsale aussi pubescente que leur face externe. Fémurs postérieurs environ 1 fois  $\frac{1}{2}$  plus longs que larges, leur bord ventral armé de 12—15 dents assez aiguës et serrées, la première plus robuste que les suivantes; disque de ces fémurs creusé de très petits points sétifères, quasi microscopiques, le tégument lisse entre les point. Tibias postérieurs à gouttière tarsale ne s'étendant pas au-delà de leur milieu, un peu plus courte que les tarses; face externe de ces tibias ni tronquée, ni creusée de fovéoles sérées le long de cette gouttière.

Ailes antérieures à postmarginale assez brève, à peine 1 fois  $\frac{1}{2}$  plus longue que la marginale.

Abdomen assez large, un peu comprimé dorso-ventralement, sa longueur égale à celle de la tête et du thorax réunis. Tergite I très convexe, un peu plus long que le tergite V, dépourvu d'aréole basale distincte et creusé de petites fovéoles rondes, contiguës, sauf dans une très étroite zone apicale lisse. Tergites II à V entièrement recouverts par le tergite I. Tergites V et VI sculptés comme le tergite I, le bord apical du tergite V concave, celui du tergite VI relevé latéralement en deux faibles bosses. Dernier tergite à partie basale seulement épaissie sur les côtés et cachée sous le tergite précédant lorsque l'abdomen est examiné dorsalement; partie apicale amincie, 2 fois plus longue que large, avec les pygostyles non saillants et son bord ventral rectiligne. Partie libre des valves de la tarière, soit légèrement plus courte, soit légèrement plus longue que l'abdomen.

Longueur: 8—10,5 mm (tarière exclue).

♂: macules noires plus envahissantes que chez la ♀. Ailes antérieures enfumées à l'apex. Tête plus large que chez la ♀ avec les joues très peu

inclinées, faisant avec la verticale un angle de 60°, leur longueur nettement inférieure à la moitié de celles des orbites. Base du scrobe antennaire située au niveau de la ligne oculaire. Carène interocellaire de la ♀ transformée en une lame saillante bidentée. Ocelles latéraux distants des orbites, d'une longueur égale au double de leur diamètre. Antennes à flagelle cylindrique assez court, sa longueur inférieure à la largeur de la tête; funicule I un peu plus long que large; funicule VII carré, sa longueur égale aux  $\frac{3}{4}$  de celle du funicule I; massue, beaucoup plus large que le funicule I, égale aux deux derniers articles du funicule réunis. Scapulæ et axilles à peine bombées. Carènes latérales du propodeum inermes. Aréoles stigmatiques horizontales; grande cellule apicale divisée par deux carènes submédianes. Hanches postérieures à face dorsale absolument lisse et glabre. Fémurs postérieurs à bord ventral seulement armé de 8 dents. Base de la face dorsale des tibias postérieurs ornée d'une épaisse pubescence argentée. Abdomen avec les tergites I à VI creusés de fovéoles rondes contiguës, celle de la portion basale du tergite I beaucoup plus grandes et grossières que les autres. Tergite VI en forme de court pavillon de trompette, ses côtés ornés d'une paire de vagues fascies soyeuses hirsutes. Dernier tergite, 2 fois plus long que large, très profondément incisé à l'apex entre deux spinules aiguës.

Longueur: 8,5 mm.

Holotype: 1 ♀, PenkrIDGE (Rhodésie du Sud); 24. IX. 1928; R. H. R. Stevenson. Allotype: 1 ♂, Bulawayo (Rhodésie du Sud); 5. X. 1924. Paratype: 1 ♀, Bulawayo; 14. X. 1922. (Holotype et Allotype au National Museum of South Rhodesia).

Espèce dédiée au Dr G. Arnold, Directeur du National Museum of South Rhodesia.

#### Genre *Philocentrus* nov.

##### Description du genre:

Voisin de *Cratocentrus*, dont il diffère principalement par les caractères énumérés ci-dessous. Tête à occiput caréné entre les ocelles latéraux. Partie postérieure du pronotum formant un très vague collare à région dorsale arquée, mais caréné seulement sur les côtés. Axilles à région dorsale presque plane, séparée de leur région postérieure verticale par une carène sinueuse très distincte. Bordure postérieure du scutellum (postscutellum) non mucronée à l'apex. Grande cellule apicale du propodeum (♂) divisée par une carène médiane. Tibias postérieurs à bord dorsal un peu comprimé en lame tranchante le long de la gouttière tarsale. Abdomen (♀) à tergite I pourvu d'une très grande aréole basale mal limitée. Tergite V orné d'une paire d'épaisses fascies soyeuses couvrant toute la moitié postérieure de leurs flancs. Dernier tergite à partie basale renflée seulement sur les côtés et cachée sous le tergite précédent lorsque l'abdomen est examiné dorsalement. Abdomen (♂) à tergite VII triangulaire, prolongé par une spinule médiane.

Type du genre: *P. argenteolus* sp. n.

Répartition géographique: Région éthiopienne (sous-région soudanienne).

Ce genre, lui aussi, ne comprend qu'une seule espèce. Celle-ci, à l'inverse de la précédente (*S. arnoldi*), est remarquable par l'abondance des épaisses soies couchées revêtant la plus grande partie de son corps et lui donnant un bel aspect satiné. *Philocentrus* se distingue de tous les autres genres de Cratocentrini par la conformation de ses axilles. La grande cellule apicale du propodeum est, chez le ♂, divisée par une carène unique, et non par deux carènes submédianes, disposition la plus fréquemment rencontrée dans la tribu.

### 1. *Philocentrus argenteolus* sp. n.

(Figs. 11, 43, 44 et 45)

♀ : corps, pattes et antennes entièrement roux brunâtre, l'apex des valves de la tarière noir. Ailes parfaitement hyalines.

Longues soies dressées, clairsemées sur la tête et les mésopleures. Soies arquées ou couchées, extrêmement abondantes, revêtant presque toute la tête, la plus grande partie du thorax, le disque de fémurs postérieurs et constituant, encore, une épaisse pubescence apprimée, brillante et argentée, sur les sillons scapulaires, la face postérieure des axilles, les côtés du scutellum, les aréoles stigmatiques du propodeum et la face externe de toutes les hanches. En outre, ces mêmes soies, très nombreuses sur le pourtour du disque du premier tergite abdominal et formant deux paires de longues fascies qui ornent, l'une, la moitié postérieure des côtés du tergite V, la seconde, les côtés du tergite VI, constituent enfin une épaisse pubescence apprimée couvrant la base du dernier tergite.

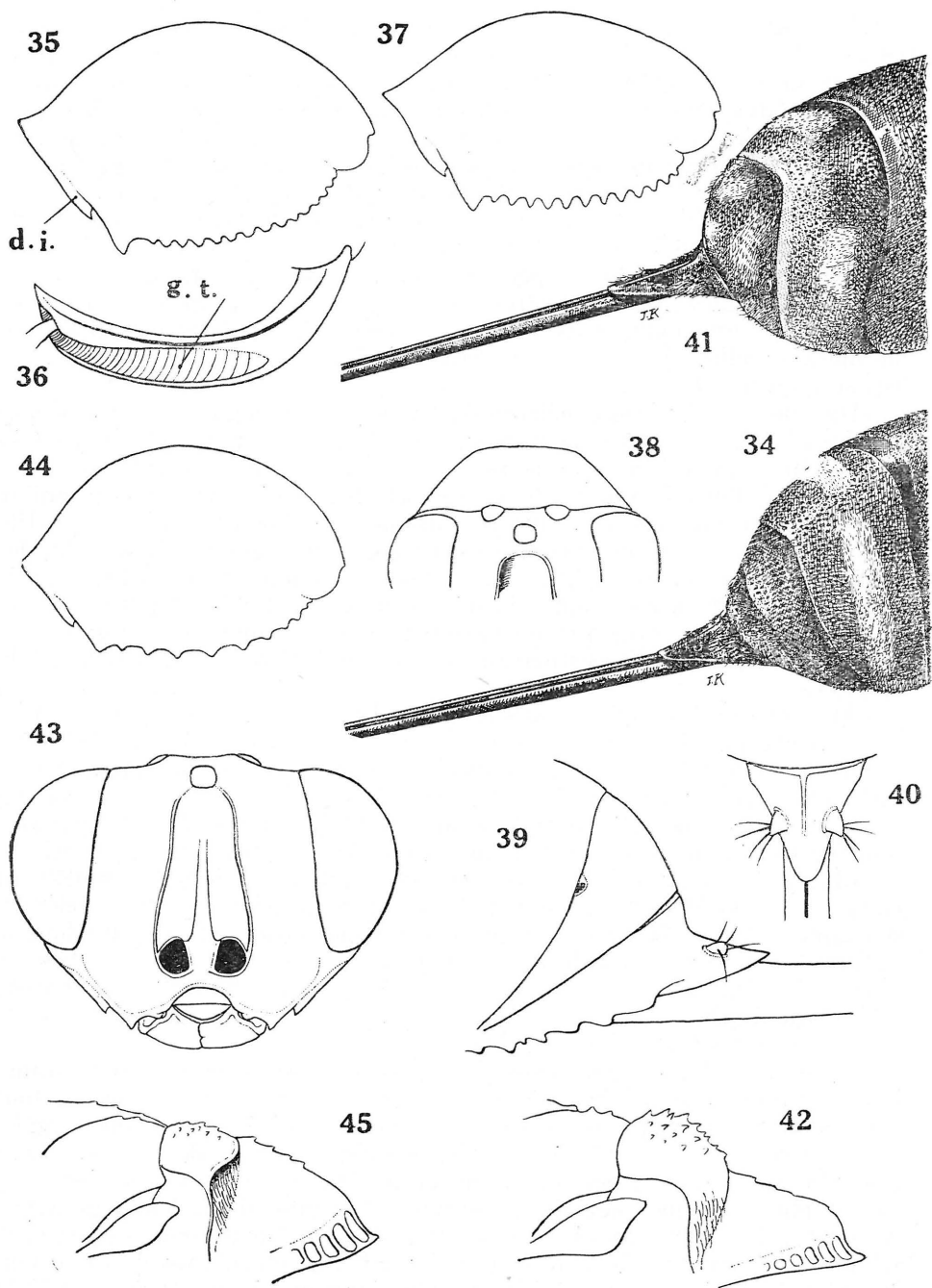
Tête, vue de face, presque 1 fois  $\frac{1}{2}$  plus large que haute. Espace interorbitaire trapézoïdal, la largeur du vertex égale à la longueur des bords internes des orbites qui divergent nettement vers la bouche. Joues faisant avec la verticale un angle de  $45^\circ$ , leur longueur supérieure à la moitié de celle des orbites. Base du scrobe antennaire visiblement située au-dessous de la ligne oculaire. Tête, vue dorsalement, très peu incurvée, l'occiput incliné presque verticalement aussitôt derrière les yeux et l'aire ocellaire, celle-ci carénée entre les ocelles latéraux. Ocelles latéraux distants des orbites d'une longueur égale à 1 fois  $\frac{1}{2}$  leur diamètre. Tête, vue latéralement, étroite, lenticulaire, à front médiocrement convexe et proéminent en avant des yeux.

Scape antennaire un peu plus long que les quatre articles suivants réunis; longueur du flagelle cylindrique égale à la largeur de la tête; funicule I environ 1 fois  $\frac{1}{2}$  plus long que large (15:10); funicule VII carré (10:10), sa longueur égale aux  $\frac{3}{4}$  de celle du funicule I; massue, nettement plus longue que le funicule I, mais un peu plus courte que les deux derniers articles funiculaires réunis.

---

Figs. 34 à 45. — 34. *Cratocentrus pruinosus* sp. n. f. typique ♀ : apex de l'abdomen. — 35. id.: fémur postérieur; d. i.: dent interne. — 36. id.: tibia postérieur; g. t.: gouttière tarsale. — 37. *C. fastuosus* (Ms.) ♀ : fémur postérieur. — 38. *Acrocentrus erythrothorace* sp. n. ♀ : sommet de la tête et pronotum. — 39. id.: apex de l'abdomen. — 40. id.: tergite VII, vu dorsalement. — 41. *Spatocentrus arnoldi* sp. n. ♀ : apex de l'abdomen. — 42. id.: axille et scutellum. — 43. *Philocentrus argenteolus* sp. n. ♀ : tête. — 44. id.: fémur postérieur. — 45. id.: axille et scutellum.





Thorax trapu, à peu près aussi long que large, à métapleures assez renflées. Pronotum à côtés aussi longs que les tegulae, sa partie postérieure formant un vague collare caréné latéralement et à région dorsale très arquée. Scapulae médiocrement convexes, les sillons scapulaires cependant bien marqués; région dorsale des axilles presque plane et séparée de leur région postérieure verticale par une carène très nette, un peu sinueuse. Bordure postérieure du scutellum (postscutellum) inerme. Fovéoles polygonales du mesonotum de taille uniforme, un peu plus petites que celles du collare du pronotum, les fovéoles du collus entièrement cachées par la pubescence.

Carènes latérales du propodeum inermes. Aréoles stigmatiques subtriangulaires, horizontales, séparées de l'extrémité du propodeum par une grande aréole secondaire, plus haute que large, verticale, glabre: grande cellule apicale inclinée presque verticalement comme les petites aréoles basales disposées en une file continue.

Hanches postérieures cunéiformes, 1 fois  $\frac{1}{2}$  plus longues que larges, leur face dorsale glabre creusée de quelques points épars. Fémurs postérieurs très larges, leur largeur bien supérieure à la moitié de leur longueur, leur bord ventral armé d'une dizaine de dents très petites et très espacées, la première à peine plus robuste que les suivantes; disque de ces fémurs creusé de petits points sétifères, quasi microscopiques, contigus, le tégument lisse entre les points. Tibias postérieurs à gouttière tarsale occupant au moins leur moitié apicale, mais demeurant, toutefois, plus courte que les tarsi; bord dorsal de ces tibia un peu comprimé en lame tranchante le long de cette gouttière.

Ailes antérieures à postmarginale un peu inférieure au double de la marginale.

Abdomen ovoïde, un peu plus long que la tête et le thorax réunis. Tergite I un peu plus long que le tergite V, très convexe à sa partie antérieure occupée par une très large aréole basale mal délimitée, inclinée presque verticalement; disque et flancs de ce tergite creusés de petites fovéoles rondes, contiguës, sauf dans une étroite zone apicale lisse. Tergites II à IV entièrement recouverts par le tergite I. Tergites V et VI sculptés comme le tergite I, le bord apical du tergite V concave. Dernier tergite à partie basale seulement épaissie sur les côtés et cachée sous le tergite précédent, lorsque l'abdomen est examiné dorsalement; partie apicale amincie presque 2 fois plus longue que large, avec les pygostyles non saillants et son bord ventral rectiligne. Partie libre des valves de la tarière aussi longue que l'abdomen augmenté de la moitié du thorax.

Longueur: 8 mm (tarière exclue).

♂: Tête et flagelle antennaire, base du collus du pronotum, metanotum, pleures et propodeum noirs, comme parfois le scutum, les scapulae et tout l'abdomen. Tête un peu plus large que chez la ♀, la longueur des joues, également inclinées à 45°, ne dépassant pas la moitié de celle des orbites. Base du scrobe antennaire située au niveau de la ligne oculaire. Ocelles latéraux souvent plus gros que chez la ♀, distants des orbites d'une longueur à peu près égale à leur diamètre. Antennes à flagelle cylindrique court, sa longueur inférieure à la largeur de la tête; tous les articles funiculaires de taille sensiblement égale, le funicule I à peine plus long que large, le funicule VII carré; massue beaucoup plus longue que le funicule I, égale aux deux derniers

articles funiculaires réunis. Grande cellule apicale du propodeum divisée par une carène médiane robuste. Fémurs postérieurs armés en moyenne de 7—8 dents seulement. Abdomen avec les tergites I à VI creusés de petites fovéoles rondes contiguës ou presque contiguës, de taille uniforme, sauf dans une zone apicale lisse assez large; milieu du tergite I et les flancs des tergites II à V couverts d'une abondante pubescence apprimée, argentée, analogue à celle ornant les sternites. Tergite VI, en forme de court pavillon de trompette, à côtés également ornés d'une paire d'épaisses fascies soyeuses argentées. Dernier tergite triangulaire, à peine plus long que large, ponctué à sa base, strié dans sa partie apicale terminée par une spinule médiane.

Longueur: 6—7 mm.

Holotype: 1 ♀, M'Bambey (Sénégal), éclore d'une galérie forée dans *Euphorbia balsamifera* Ait.; 1939; J. Risbec. Allotype: 1 ♂, même origine. Paratypes: 4 ♂♂, même origine; 1 ♂, Mortcha (Tchad), capturé sur *Acacia* sp.; 1950; P. Bruneau de Miré. (Holotype et Allotype au Museum H. N. de Paris).<sup>6)</sup>

### Remerciements

Nous adressons nos vifs remerciements à Mlle D. Guiglia (Museo civico di storia naturale, Gênes) et à Mlle M. N. Nikolskaja (Institut zoologique de l'Académie des Sciences de l'U.R.S.S., Léninegrad), ainsi qu'au Professeur J. C. Bradley (Cornell University, Ithaca), au Dr G. Arnold (National Museum of South Rhodesia, Bulawayo), à M. P. Basilewsky (Musée royal du Congo belge, Tervuren), au Dr Z. Bouček (Národní Museum, Prague), à M. B. D. Burks (U.S. Dept. of Agriculture, Washington), à M. G. J. Kerrich (Commonwealth Institute of Entomology, Londres), à M. Ch. Rungs (Service de Défense des Végétaux, Rabat) et au Dr G. Steinbach (Zoologisches Museum, Humboldt-Universität, Berlin) pour l'aide qu'ils nous ont fournie en nous communiquant des types et du matériel inédit provenant de leur musée ou de leurs collections.

Nous exprimons également notre reconnaissance au Dr L. Hoberlandt qui a bien voulu accepter de faire paraître ce travail dans les *Acta Entomologica Musei nationalis Pragæ*.

---

<sup>6)</sup> Durant l'impression de ce travail, M. J. Mateu nous a communiqué 2 ♀♀ et 1 ♂ de cette espèce issus, comme les types, de bois d'*E. balsamifera*, dans lequel ils parasitaient des larves de Buprestides indéterminés. Ce bois avait été récolté, en 1958, dans le cercle de Kitta, en Mauritanie.